

素粒子標準模型

を超える物理の基礎

丸 信人

大阪公立大学 理学研究科 /
南部陽一郎物理学研究所

2023/9/20-22 @ 瀬戸内
サマースタート2023

PLAN

① 階層性問題

② GUT

③ SUSY

④ Extra Dimension

あつかうフォーマが大変なので、あまり深く
議論で“きませんか”、模型構築の
エッセンスをお話して“これは”.....

(Standard Modelの基本的知識は前提
としますが、遠慮なく質問して下さい)

⑨ References

GUT

- H. Georgi, LIE ALGEBRAS IN PARTICLE PHYSICS
FROM ISOSPIN TO UNIFIED THEORIES
- T.-P. Cheng and L.-F. Li
Gauge theory of elementary particle Physics
たて

SUSY, Extra Dimension 全体

- C. Csaki and P. Tanedo,
Beyond the Standard Model
Lectures at the 2013 European School of
High Energy Physics, 1602.04228 [hep-ph]
- 林青司, 素粒子の標準模型を超えて
(丸善出版)
- Particle Data Group's Review たて

SUSY

- S. Martin, A Supersymmetry Primer
hep-ph/9709356
- J. Terning, Modern Supersymmetry
OXFORD UNIVERSITY PRESS
- 解説記事「超対称性」数理科学 2019年3月号
など

Extra Dimensions

- R. Sundrum, To the Fifth Dimension and
Back, hep-th/0508134
- 原子核三者 若手夏の学校 2022
「ゲージヒッグス系合理論の現状と
今後の展望」講義録 Youtube チャンネル
など

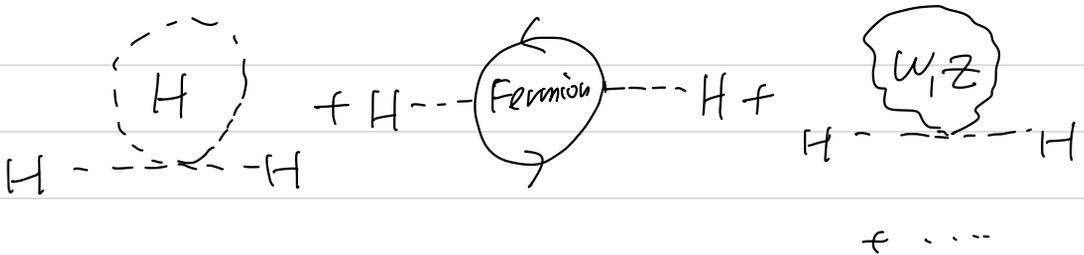
階層性問題

⑨ Standard Model の枠組みで、ヒッグス場の質量を計算すると、**不自然なパラメータの微調整**が必要と見られる

$$m_H^2 = m_0^2 + \delta m^2 \approx (125 \text{ GeV})^2$$

↑
↑
↑
↑
↑
↑
↑
↑

物理的なヒッグス質量 古典的 **量子補正** 実験値



Standard Model が プランクスケール $M_p \sim 10^{18} \text{ GeV}$ まで正しいと仮定すると

$$\int \frac{d^4 k}{k^2 - m^2} = \int_0^{M_p^2} dk^2 \frac{\pi k^2}{k^2 - m^2} \approx M_p^2$$

$\Lambda = 1000 \text{ GeV} (= 1 \text{ TeV})$ あたりに
新しい物理があると仮定すると、

$$\int \frac{d^4 k}{k^2 - m^2} = \int_0^{(1 \text{ TeV})^2} dk^2 \frac{\pi k^2}{k^2 - m^2} \approx (1 \text{ TeV})^2$$



$$m_H^2 = \mathcal{O}((1 \text{ TeV})^2) - \mathcal{O}((1 \text{ TeV})^2) \approx (125 \text{ GeV})^2$$

または、

$$m_H^2 \approx \frac{1}{16\pi^2} \mathcal{O}((1 \text{ TeV})^2) \approx (125 \text{ GeV})^2$$

のようにより自然に理解できる。

不自然な微調整をうけいける立場も
ありうるが、多くの素粒子論研究者は、
Standard Model を拡張した新しい物理
によって自然に実現されるべきと考える

テラスケールの新しい物理へのアプローチ

- ① ダイヤミックス \Rightarrow 複合粒子模型
- ② 対称性 \Rightarrow 超対称模型
- ③ 幾何学 \Rightarrow 余剰次元模型

標準模型を超える物理

① フェルミカラーモデル

② 超対称モデル

③ リトルヒッグスモデル

④ 古典的スケール不変モデル

4次元モデル

⑤ 大い余剰次元モデル

⑥ 曲がった余剰次元モデル

⑦ ゲージ・ヒッグス統一モデル

高次元モデル

などの数

§ Grand Unified Theory (GUT)

* Standard Model : $SU(3)_C \times SU(2)_L \times U(1)_Y$
(SM) ← 4つの群の積

Strong interaction }
weak interaction } 1つの理論で統一されていない
electromagnetic int. }

* $U(1)_Y$ の固有値は量子化される必要がない。
 $SU(2)_L$ 、西島・中野・Gell-Mann の法則

$$Q_{em} = T_3^L + \frac{Y}{2} \leftarrow \text{量子化されるはず}$$

↑ ↑
e の 1/2 乗 量子化されるはず

* matter multiplets も別々

$$q_L(3, 2, \frac{1}{6}) \quad u_R(3, 1, \frac{2}{3}) \quad d_R(3, 1, -\frac{1}{3})$$

$$l_L(1, 2, -\frac{1}{2}) \quad e_R(1, 1, 1)$$

× 3 (世代)

* SM is 1929 free parameter $\Sigma \in \mathbb{C}$

gauge coupling: $g_3, g, g' \longrightarrow 3$

charged fermion masses: $m_{u,d,s,c,b,t} \longrightarrow 9$
 $m_{e,\mu,\tau}$

V_{CKM} : 3 mixing angles, 1 phase $\longrightarrow 4$

v : Higgs field VEV

λ : Higgs potential η (point set) } 2

θ : QCD θ parameter

ν ~~neutrino~~ data: 3 masses + 3 mixing angles
 + 1 phase (Dirac ν)
 + 2 additional phases (Majorana ν)

$$I_{QCD} \supset \frac{\theta}{64\pi^2} \sum \mu\nu\sigma G_{\mu\nu}^a G_{\sigma\rho}^a \leftarrow \text{4-? 不変性 非可換性}$$

data

$$|\theta| < 10^{-10}$$

P & CP 破れ

from n EDM

"strong CP problem"

* 以上の問題は、もし Standard model を
より大きな Non-Abelian gauge group

$$G \supset SU(3)_C \times SU(2)_L \times U(1)_Y \text{ に拡張できる}$$

ために解決

⇒ Georgi & Glashow が「一番簡単な場合

(を提唱 : $G = SU(5)$ (minimal $SU(5)$ GUT)

↓
1974年

② SU(5) GUT

* matter sector

SU(5)の生成子は、traceless

⇒ U(1)_{em} charge operator は、SU(5)の diagonal 生成子の線形結合

⇒ quarks & leptons は、U(1)_{em} 電荷が ±1/3 または ±2/3 かつ SU(5) multiplets の成分 として入る。

例 $(\nu_e, e)_L$ $Q_{\nu_e} + Q_e = 0 - 1 = -1$

この電荷を cancel する fields は何か?

$$Q_{d_R} = -\frac{1}{3} \xrightarrow{\text{charge conjugation}} Q_{d_L} = \frac{1}{3} \times 3 = \underline{\underline{+1}}$$

(d^c)_L

(C)
161

charge conjugation is chirality is utilized

$$(d_R)^c \equiv C(\gamma^0)^T (R d)^* = C(\gamma^0)^T R d^*$$

$\gamma^2 \gamma^0 \swarrow$

$$= L C(\gamma^0)^T d^* = L d^c = (d^c)_L$$

* 以上の考察より

RH d の反粒子 + LH charged leptons = 5^* 表現

$$\begin{aligned} \psi^c &= ((d_{1R})^c, (d_{2R})^c, (d_{3R})^c, \nu_{eL}, e_L) \\ &= ((d^{c1})_L, (d^{c2})_L, (d^{c3})_L, \nu_{eL}, e_L) \\ &= (d^{c1}, d^{c2}, d^{c3}, e, -\nu_e)_L \end{aligned}$$

↑
 ν_{eL}
↑
 e_L
↑
 ν_e
↑
 e

$\lambda_a = \begin{pmatrix} \nu_e \\ e \end{pmatrix}_L$

$$l^a = \epsilon^{ab} l_b = \begin{pmatrix} e \\ -\nu_e \end{pmatrix} \quad (\text{convention})$$

$$d_R \left(3, 1, -\frac{1}{3} \right)_R, \quad L \left(1, 2, -\frac{1}{2} \right)_L$$

||

$$\left(3^*, 1, \frac{1}{3} \right)_L$$

5^* 表現

* ~~残~~りの quarks & leptons

$$q_L (3, 2, \frac{1}{6})_L \quad u_R (3, 1, \frac{2}{3})_R \quad e_R (1, 1, -1)_R$$

|| c.c.

$$(u_R)^c (3^*, 1, -\frac{2}{3})_L \quad (e_R)^c (1, 1, 1)_L$$

$\rightarrow 3 \times 2 + 3^* \times 1 + 1 = \underline{10} \leftarrow SU(5) \text{ の } 2\text{階}$
反対称テンソル
 ψ_{ij}

$$\psi_{ij} = \begin{pmatrix} 0 & (u_{3R})^c & -(u_{2R})^c & -u_{1L} & -d_{1L} \\ -(u_{3R})^c & 0 & (u_{1R})^c & -u_{2L} & -d_{2L} \\ (u_{2R})^c & -(u_{1R})^c & 0 & -u_{3L} & -d_{3L} \\ u_{1L} & u_{2L} & u_{3L} & 0 & -(e_R)^c \\ d_{1L} & d_{2L} & d_{3L} & (e_R)^c & 0 \end{pmatrix}$$

q_L

(SU(5) の対称: (123) の偶奇 (2+3))

$$= \begin{pmatrix} 0 & u^{c3} & -u^{c2} & -u_1 & -d_1 \\ -u^{c3} & 0 & u^{c1} & -u_2 & -d_2 \\ u^{c2} & -u^{c1} & 0 & -u_3 & -d_3 \\ u_1 & u_2 & u_3 & 0 & -e^+ \\ d_1 & d_2 & d_3 & e^+ & 0 \end{pmatrix} \leftarrow 10 \text{表現}$$

この2つの SM fermions が SU(5) の $3 \times (5^* \oplus 10)$ 表現に分解された。

この組合せは gauge anomaly を相殺

$$\begin{aligned} \underbrace{\sum_{\text{fermions}} \text{tr}}_{SU(N)} &\propto \text{tr} \left(T^a(R) \{ T^b(R), T^c(R) \} \right) \\ &= A(R) \text{tr} \left(T^a(N) \{ T^b(N), T^c(N) \} \right) \end{aligned}$$

$$A(N^*) = -A(N)$$

$$+ \underbrace{A\left(\frac{N(N-1)}{2}\right)}_{= (N-4)A(N)}$$

$$= (N-5)A(N) = 0$$

↑
SU(5)

* SM fermions は、右巻きと左巻きの両方で **非対称**

⇒ charge conjugation のもとで **非対称** ともいえる。

⇒ complex representation になる

ラング 4 をもつ他の 4-次元群の候補

$SO(8), SO(9), Sp(8), F_4, SU(3) \times SU(3) \dots$

$SU(3) \times SU(3)$ 以外は、**complex rep. ともいえない**

* 10 表現は、2つの 5 表現のテンソル積からつくれる。

$$\begin{aligned} & \left[(3, 1, -\frac{1}{3})_L \oplus (1, 2, \frac{1}{2})_L \right] \otimes \left[(3, 1, -\frac{1}{3})_L \oplus (1, 2, \frac{1}{2})_L \right]_A \\ &= \underbrace{(3 \times 3)_A}_{\substack{u \\ 3^*}} (1, -\frac{2}{3})_L \oplus (3, 2, \frac{1}{6})_L \oplus (1, \underbrace{(2 \otimes 2)_A}_{\substack{u \\ 1}})_L \\ &= (u_R)^c \oplus \nu_L \oplus (e_R)^c \end{aligned}$$

* generator structure $T^a \in SU(5)$

① $SU(2)$ generators

$$T^a = \left(\begin{array}{c|c} 0 & 0 \\ \hline 0 & \sigma^a/2 \end{array} \right) \quad a=1,2,3$$

② $SU(3)$ generators

$$T^a = \left(\begin{array}{c|c} \lambda^{a-3}/2 & 0 \\ \hline 0 & 0 \end{array} \right) \quad a=4, \dots, 11$$

③ $U(1)_Y$ generator

$$T^0 = \frac{1}{\sqrt{15}} \left(\begin{array}{ccc|cc} 1 & & & & \\ & 1 & & & \\ & & 1 & & \\ \hline & & & 0 & \\ 0 & & & -\frac{2}{2} & -\frac{3}{2} \end{array} \right) \stackrel{\sqrt{\frac{3}{5}} \text{diag} \left(\overbrace{\frac{1}{3}, \frac{1}{3}, \frac{1}{3}}^{(d_r)^c}, \overbrace{-\frac{1}{2}, -\frac{1}{2}}^L \right)}{=} \sqrt{\frac{3}{5}} Y$$

normalization

$$\text{tr}(T^a T^b) = \frac{1}{2} \delta^{ab} \\ (a, b = 0, \dots, 23)$$

④ $SU(5)/(SU(3) \times SU(2) \times U(1))$ generators

$$T^a = \begin{pmatrix} 0 & \text{shaded} \\ \text{shaded} & 0 \end{pmatrix} \quad a = (2, \dots, 23)$$

color & weak charges

陽子崩壊の重要

* Gauge bosons

gauge bosons = adjoint rep. of $SU(5)$
 = 24-dim rep.

$$24 = \left. \begin{aligned} & (\mathbf{8}, \mathbf{1})_0 \oplus (\mathbf{1}, \mathbf{3})_0 \oplus (\mathbf{1}, \mathbf{1})_0 \oplus (\mathbf{3}, \mathbf{2})_{-\frac{5}{6}} \\ & \uparrow \qquad \qquad \uparrow \qquad \qquad \uparrow \qquad \qquad \uparrow \\ & \text{gluons} \quad \text{weak} \quad \text{hyper} \quad \text{charge} \\ & \qquad \qquad \oplus (\mathbf{3}^*, \mathbf{2})_{\frac{5}{6}} \end{aligned} \right\}$$

X_i gauge bosons
 SM $1212 \xrightarrow{3742} 11511$

行列表示では、 $A_\mu = \sum_{a=0}^{23} A_\mu^a T^a$

$$A_\mu = \frac{1}{\sqrt{2}} \left(\begin{array}{ccc|cc} G_\mu - \frac{2}{\sqrt{30}} B_\mu & & & X_{1\mu} & Y_{1\mu} \\ & & & X_{2\mu} & Y_{2\mu} \\ & & & X_{3\mu} & Y_{3\mu} \\ \hline X_\mu^1 & X_\mu^2 & X_\mu^3 & \frac{W_\mu^3}{\sqrt{2}} + \frac{3B_\mu}{\sqrt{30}} & W_\mu^+ \\ Y_\mu^1 & Y_\mu^2 & Y_\mu^3 & W_\mu^- & -\frac{W_\mu^3}{\sqrt{2}} + \frac{3B_\mu}{\sqrt{30}} \end{array} \right)$$

* matter coupling of gauge bosons

$$D_\mu \psi = \left[d_\mu + i g_5 \sum_{a=0}^{23} A_\mu^a T^a \right] \psi$$

\Downarrow

$$g_3 = g_2 = g_5, \quad \underline{g_1 = \sqrt{\frac{3}{5}} g_5} \text{ @ } M_{\text{GUT}}$$

weak mixing angle が $\frac{1}{\sqrt{3}}$ くらい!!

$$\sin^2 \theta_w = \frac{g_2^2}{g_2^2 + g_1^2} = \frac{\frac{3}{5} g_5^2}{g_5^2 + \frac{3}{5} g_5^2} = \underline{\underline{\frac{3}{8}}}$$

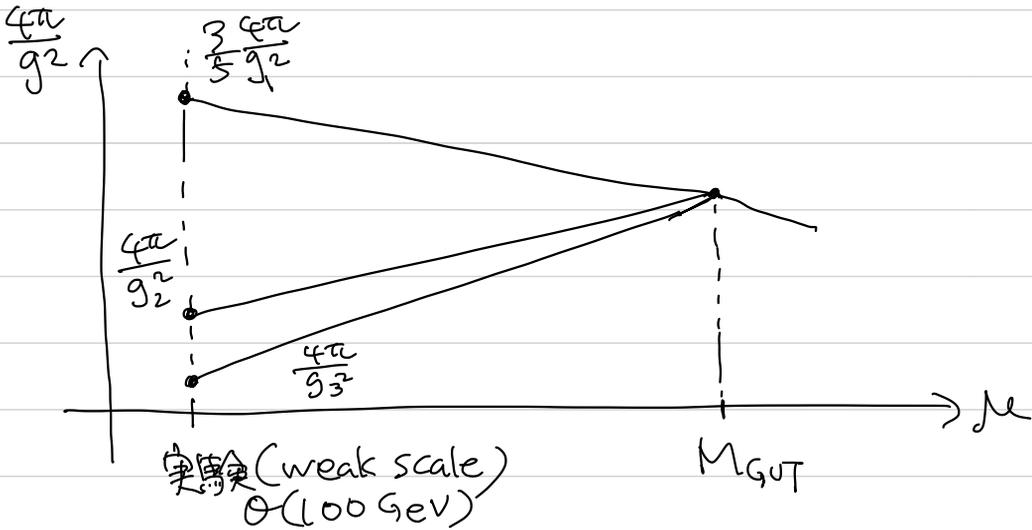
$$\text{@ } M_{\text{GUT}} \approx 10^{16} \text{ GeV}$$

* gauge coupling unification → M_{GUT} の決定

$g_{3,2,1}(\mu)$ の μ に伴っての発展

↳ 1つのスケール

$g_1(\mu)$ $g_{2,3}(\mu)$ ⇒ 一致する傾向



$g_{1,2}$ が実験で精密に測定されているので、

$g_{1,2}$ の発展から、 $M_{GUT}, \alpha(M_{GUT})$ を決定。

その点から g_3 を weak scale まで下ろし、

実験誤差範囲に入るかで判断する。

④ $\frac{4F}{5}$ ゲージ結合定数のくりこみ群方程式 (1-loop)

$$\left\{ \begin{aligned} \frac{4\pi}{g_3^2(\mu)} &= \frac{1}{\alpha_{GUT}} + \frac{1}{6\pi} (4F-33) \log\left(\frac{M_{GUT}}{\mu}\right) \\ \frac{4\pi}{g_2^2(\mu)} &= \frac{1}{\alpha_{GUT}} + \frac{1}{6\pi} (4F-22) \log\left(\frac{M_{GUT}}{\mu}\right) \\ \frac{3}{5} \frac{4\pi}{g_1^2(\mu)} &= \frac{1}{\alpha_{GUT}} + \frac{1}{6\pi} 4F \log\left(\frac{M_{GUT}}{\mu}\right) \quad (F: \text{世代数}) \end{aligned} \right.$$

$$\left(\alpha_{GUT} \equiv \frac{4\pi}{g^2(M_{GUT})} \right)$$

④ $\frac{4F}{5}$ 実験値

$$\left\{ \begin{aligned} \alpha_{em}^{-1}(M_Z) &= 127.916 \pm 0.015 \\ \alpha_3(M_Z) &= 0.1184 \pm 0.0007 \\ \alpha_2(M_Z) &= \alpha_{em}(M_Z) \sin^2 \theta_W(M_Z) \\ &= 0.001807 \pm 0.0002 \\ \sin^2 \theta_W(M_Z) &= 0.23116 \pm 0.00013 \end{aligned} \right.$$

$$* \sin^2 \theta_W(\mu) = \frac{3}{8} \left[1 + \frac{55}{9\pi} \alpha_{em}(\mu) \log\left(\frac{\mu}{M_{GUT}}\right) \right]$$

$$\rightarrow \sin^2 \theta_W(M_Z) \approx 0.20$$

$\mu = M_Z, M_{GUT} = 2 \times 10^{16} \text{ GeV}$
 $\alpha_{em}(M_Z) \text{ exp}$

\downarrow
 g_{12} の RGE だし
 $\frac{55}{9\pi}$ の値

* GUT symmetry breaking

2 → 3 + 1 + 1: $M_{GUT}, M_W \Rightarrow$ 2 step breaking

$$\boxed{\begin{aligned} SU(5) &\xrightarrow{M_{GUT}} SU(3)_C \times SU(2)_L \times U(1)_Y \\ &\xrightarrow{M_W} SU(3)_C \times U(1)_{em} \end{aligned}}$$

Higgs potential

$$V(\Sigma, H) = V(\Sigma) + V(H) + \lambda_4 (\text{tr} \Sigma^2) |H|^2 + \lambda_5 H^\dagger \Sigma^2 H$$

$$V(\Sigma) = -M^2 (\text{tr} \Sigma^2) + \lambda_1 (\text{tr} \Sigma^2)^2 + \lambda_2 (\text{tr} \Sigma^4)$$

$$V(H) = -m^2 |H|^2 + \lambda_3 |H|^4$$

Σ : 24-dim adj. rep

H : 5-dim 基本表現

colored Higgs
 $\begin{pmatrix} H_3 \\ H_2 \end{pmatrix}$
 SM Higgs

< 424 可能性 & gauge 不変性 $\left\{ \begin{array}{l} \Sigma \rightarrow -\Sigma \\ H \rightarrow -H \end{array} \right. \Sigma$ 仮定

1st stage of SSB @ M_{GUT}

$$0 = \frac{\partial V(\Sigma, H=0)}{\partial \Sigma} = \frac{dV(\Sigma)}{d\Sigma} \rightarrow \langle \Sigma \rangle \text{ の決定}$$

$$\langle \Sigma \rangle = v \text{diag}(\sigma_1, \sigma_2, \sigma_3, \sigma_4, \sigma_5)$$

$$\text{trace}, \sum_{i=1}^5 \sigma_i = 0, \quad v \sim \mathcal{O}(M_{GUT})$$

と仮定して置く。

$$\begin{aligned} \therefore V(\Sigma) = & -M^2 v^2 \sum_{i=1}^5 \sigma_i^2 + \lambda_1 v^4 \left(\sum_{i=1}^5 \sigma_i^2 \right)^2 \\ & + \lambda_2 v^4 \sum_{i=1}^5 \sigma_i^4 \end{aligned}$$

$$0 = \frac{dV(\Sigma)}{d\Sigma} = \frac{dV(\Sigma)}{dv}$$

$$= 2v \left[-M^2 \sum_{i=1}^5 \sigma_i^2 + 2\lambda_1 v^2 \left(\sum_{i=1}^5 \sigma_i^2 \right)^2 + 2\lambda_2 v^2 \sum_{i=1}^5 \sigma_i^4 \right]$$

$$\begin{cases} \textcircled{1} \langle \Sigma \rangle = v(2, 2, 2, -3, -3) & v \neq 0 \\ \textcircled{2} \langle \Sigma \rangle = (0, 0, 0, 0, 0) \end{cases} \quad \epsilon \neq \bar{\epsilon}$$

$$\textcircled{1} \quad 0 = -M^2(4 \times 3 + 9 \times 2) + 2\lambda_1 v^2(12 + 18)^2 + 2\lambda_2 v^2(16 \times 3 + 8 \times 2)$$

$$\Rightarrow \boxed{M^2 = 60\lambda_1 v^2 + 14\lambda_2 v^2} \Rightarrow v \sim \mathcal{O}(M)$$

$$\begin{aligned} V(\langle \Sigma \rangle) &= -M^2 v^2 \times 30 + \lambda_1 v^4 \times 900 + \lambda_2 v^4 \times 210 \\ &= 30v^4(-30\lambda_1 - 7\lambda_2) \end{aligned}$$

① が真空として実現されるためには、 $V(\langle \Sigma \rangle) < 0$

$$\Leftrightarrow -30\lambda_1 - 7\lambda_2 < 0$$

* covariant derivative of Σ

$$\begin{aligned}
 D_\mu \Sigma &= \partial_\mu \Sigma + i g_5 [A_\mu, \Sigma] \\
 &= D_\mu \tilde{\Sigma} + i g_5 [A_\mu, \langle \Sigma \rangle] \\
 \uparrow \\
 \Sigma &= \langle \Sigma \rangle + \tilde{\Sigma}
 \end{aligned}$$

adj. rep. に
作用するのは、
交換子でないと
共変にならない

→ $\left(\frac{\Sigma + \tilde{\Sigma}}{2} \right)$

$$D_\mu \Sigma \xrightarrow{SU(5)} \partial_\mu (U \Sigma U^\dagger)$$

$$+ i g_5 [U A_\mu U^\dagger + \frac{i}{g_5} (\partial_\mu U) U^\dagger, U \Sigma U^\dagger]$$

$$= \underbrace{(\partial_\mu U) \Sigma U^\dagger}_{\text{cancel}} + U (\partial_\mu \Sigma) U^\dagger + \underbrace{U \Sigma (\partial_\mu U^\dagger)}_{\text{cancel}}$$

$$+ i g_5 (U A_\mu \Sigma U^\dagger - U \Sigma A_\mu U^\dagger)$$

$$- \underbrace{(\partial_\mu U) \Sigma U^\dagger}_{\text{cancel}} + \underbrace{U \Sigma U^\dagger (\partial_\mu U) U^\dagger}_{\text{cancel}} - U \partial_\mu U^\dagger$$

$\partial_\mu (U U^\dagger) = 0$

$$= U (\partial_\mu \Sigma) U^\dagger$$

* gauge boson mass

$[D_\mu \Sigma]^2$ の中の $[g_5 [A_{\mu i}(\Sigma)]]^2$ の部分を計算する。

$$[A_\mu(\Sigma)] = \frac{v}{\sqrt{2}} \left[\begin{array}{c|c} \left(G - \frac{2}{\sqrt{30}} B & X \ Y \right) \\ \hline X^+ & W^+ B \ W^+ \\ Y^+ & W^- - W^+ B \end{array} \right], \quad \left(\begin{array}{c|c} 2 & \\ \hline & 2 \\ \hline & -3 \\ & -3 \end{array} \right)$$

$$\Rightarrow \frac{v}{\sqrt{2}} \left[\begin{array}{c|c} \left(2 \left(G - \frac{2}{\sqrt{30}} B \right) & -3(X \ Y) \right) \\ \hline 2X^+ & -3(W^+ B) \\ 2Y^+ & -3(W^- - W^+ B) \end{array} \right] - \left(\begin{array}{c|c} \left(2 \left(G - \frac{2}{\sqrt{30}} B \right) & 2(X \ Y) \right) \\ \hline -3X^+ & -3(W^+ B) \\ -3Y^+ & -3(W^- - W^+ B) \end{array} \right)$$

$$\Rightarrow \frac{v}{\sqrt{2}} \left(\begin{array}{c|c} 0 & X \ Y \\ \hline X^+ & \\ Y^+ & 0 \end{array} \right)$$

$$\Rightarrow M_X = M_Y = \frac{5}{\sqrt{2}} g_5 v$$

would-be NG bosons

$$\left(\begin{array}{c|c} & \Sigma_X \ \Sigma_Y \\ \hline \Sigma_X^+ & \\ \Sigma_Y^+ & \end{array} \right)$$

$$* V(\langle \Sigma \rangle, H) = V(\langle \Sigma \rangle) + V(H) \quad \hookrightarrow -m^2 |H|^2$$

$$+ 30\lambda_4 v^2 |H|^2 + \lambda_5 v^2 H^\dagger \begin{pmatrix} 4 & 0 \\ 0 & 9 \end{pmatrix} H$$

$$\supset m_3^2 |H_3|^2 + m_2^2 |H_2|^2$$

colored Higgs mass $\left\{ \begin{array}{l} m_3^2 = -m^2 + (30\lambda_4 + 4\lambda_5)v^2 \sim \mathcal{O}(M_{\text{GUT}}) \\ m_2^2 = -m^2 + (30\lambda_4 + 9\lambda_5)v^2 \approx 0 \end{array} \right.$

\hookrightarrow SM Higgs mass

$M_{\text{GUT}} \gg m$, $m_2^2 \approx 0$ is fine-tuning が必要

doublet-triplet
splitting problem

$m \sim \mathcal{O}(M_{\text{GUT}})$, $m_2 \sim \mathcal{O}(M_{\text{GUT}})$
13桁の fine-tuning

$$V(H) = -m^2 |H|^2 + \lambda_3 |H|^4 \rightarrow \text{WS model の Higgs potential}$$

$$0 = \frac{\partial V(H)}{\partial H^\dagger} = H(-m^2 + 2\lambda_3 |H|^2)$$

$$\therefore \langle H \rangle = 0, \sqrt{\frac{2\lambda_3}{m^2}}$$

* doublet-triplet splitting problem of U(5) or $U(5)_C$

① Sliding singlet mechanism Witten(1981)

(idea) $SU(5)$ singlet of VEV $\langle \Sigma \rangle \neq 0$ exists.

$$W = \overline{H} (\Sigma + S) H$$

\uparrow Superpotential \uparrow $SU(5)$ singlet

$$\langle \Sigma \rangle = \sqrt{V} \text{diag}(2, 2, 2, -3, -3) \text{ by } W(\Sigma)$$

\downarrow
 $O(M_{GUT})$

$$0 = \frac{\partial W}{\partial \overline{H}} = (\langle \Sigma \rangle + \langle S \rangle) \langle H \rangle \quad \langle H \rangle = \begin{pmatrix} 0 \\ 0 \\ 0 \\ 0 \\ v \end{pmatrix}$$

$$\therefore \langle S \rangle = -\langle \Sigma \rangle \Leftrightarrow \langle S \rangle = 3\sqrt{V}$$

$$\text{すなわち, } \langle \Sigma \rangle + \langle S \rangle = \sqrt{V} \text{diag}(\underbrace{5, 5, 5}_{\text{triplet mass}}, \underbrace{0, 0}_{\text{doublet massless}})$$

② Missing partner mechanism

(SU(5) Masiero, Nanopoulos
 Tamvakis, Faragida (1982)
 Georgi (1982)
 Dimopoulos, Wilczek (1981))

idea

SU(5) 5_H 5_H (10_H) 5_H 5_H (10_H)
 1_H Dirac mass 5_H 5_H, doublet Higgs
 1_H massless 1_H 5_H 5_H 5_H model 5_H 5_H (10_H).

$$W \supset \lambda 5_H 5_H (10_H) + \lambda' \overline{5}_H \overline{5}_H (10_H)$$

$$5_0 = (8, 2) \oplus (6, 3) \oplus (\overline{6}, 1) \oplus (3, 2)$$

$$\oplus$$

$$\oplus (\overline{3}, 1) \oplus (1, 1)$$

- No doublet (1, 2) Higgs → massless
- (3, 1) 1_H 5_H (3, 1) 5_H Dirac mass 5_H 5_H
 ⇒ O(M_{GUT}) massive

$$\left(\begin{array}{l}
 \text{参考} \\
 \text{参考}
 \end{array} \right)
 75 = \begin{array}{|c|c|c|} \hline & & \\ \hline & & \\ \hline & & \\ \hline \end{array} = \psi_{[k\ell]}^{\{ij\}} \quad (= (50 \otimes 5)_A)$$

$$= (\bar{3}, 1) \oplus (\bar{6}, 2) \oplus (3, 2) \oplus (8, 1) \oplus (8, 3) \\
 \oplus (6, 2) \oplus (\bar{3}, 2) \oplus (3, 1) \oplus \langle (1, 1) \rangle$$

真空期待値

③ Pseudo NG boson mechanism \rightarrow $SU(6)$ model

global symmetry $\underline{SU(6)_1 \times SU(6)_2}$ (diagonal $SU(6)$ is gauged)

Higgs: $\Sigma(35_1), H(6_2), \bar{H}(\bar{6}_2)$

 $24 \oplus 5 \oplus \bar{5} \oplus 1$ $5 \oplus 1$ $\bar{5} \oplus 1$

\neq l. VEV の #
 Σ 次のは = 復元
 あり。

$\langle \Sigma \rangle = V \text{diag}(1, 1, 1, 1, -2, -2)$

 $\langle H \rangle = \langle \bar{H} \rangle = U(1, 0, 0, 0, 0, 0)^T$

- $SU(6)_1 \xrightarrow{(\Sigma)} SU(4) \times SU(2) \times U(1)$

NG bosons $(\bar{3}, 2)_{\frac{1}{6}} \oplus (3, 2)_{-\frac{1}{6}} \oplus (1, 2)_{\frac{1}{2}} \oplus (1, 2)_{-\frac{1}{2}}$

- $SU(6)_2 \xrightarrow{(H), (F)} SU(5)$

NG bosons $(3, 1)_{-\frac{1}{3}} \oplus (\bar{3}, 1)_{\frac{1}{3}} \oplus (1, 2)_{\frac{1}{2}} \oplus (1, 2)_{-\frac{1}{2}} \oplus (1, 1)_0$

$\frac{SU(6)}{SU(4) \times SU(2) \times U(1)}$ eaten
 $\frac{SU(5)}{SU(3) \times SU(2) \times U(1)}$

• gauge symmetry breaking

$$SU(6) \rightarrow SU(3) \times SU(2) \times U(1)$$

\uparrow diagonal of $SU(6)_1 \times SU(6)_2$ \uparrow $(SU(4) \times SU(2) \times U(1)) \cap SU(5)$

$$35 - (8 + 3 + 1) = 23 \text{ NG bosons } \neq$$

$$\frac{SU(6)}{SU(3) \times SU(2) \times U(1)} \text{ of gauge bosons } (= \text{eaten})$$

massless doublets

$$h_1 = \frac{v h_\Sigma - 3 v h_F}{\sqrt{v^2 + 9 v^2}}, \quad h_2 = \frac{v h_\Sigma - 3 v h_F}{\sqrt{v^2 + 9 v^2}}$$

直交好
規格化

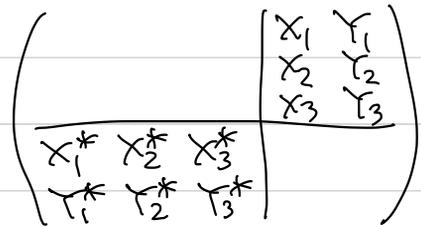
* proton decay (GUTの予言)

GUT では、quark と lepton が "同じ" multiplet に属している。

\Rightarrow $q \leftrightarrow l$ by gauge interaction

proton が lepton に decay している。

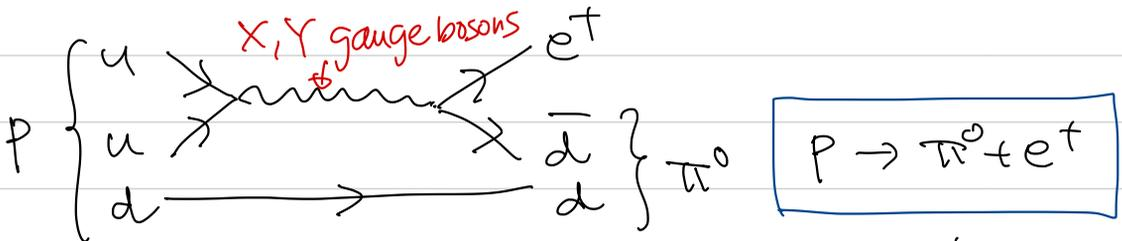
バリエーション数が壊れる



X, Y gauge bosons

(color と weak charges を壊す)

例 (d=6 U(1)O(1)S*)



proton lifetime $\tau_p \sim \left[\left(\frac{g^2}{M_{GUT}^2} \right)^2 m_p^5 \right]^{-1} \frac{1}{c^2}$

SU(5) case

$$g_{\text{GUT}}^2 \sim \frac{1}{40}$$

$$\tau_p \approx \left[\left(\frac{1}{40} \frac{1}{(10^{15})^2} \right)^2 15 \right]^{-1} \times 6.6 \times 10^{-25} \text{ (s)}$$

$$\approx 3 \times 10^{31} \text{ (yrs)} \quad \left(\frac{S}{M} \right) \quad (\tau_{\text{universe}} \approx 10^{10} \text{ (yrs)})$$

* カミオカンデ実験 (KAMIOKANDE)

Nucleon Decay Experiment

1983年完成 3000t 超純水 地下1000m
1000工の光電子増倍管

$\tau_p \sim 10^{31} \text{ (yrs)} \Rightarrow 10^{31-32}$ の核子 \approx 1年以内
observe でき. 平均 1工 decay

$$\downarrow \text{mass} \approx \frac{10^{31-32}}{6 \times 10^{23}} \approx 10^{7-8} \text{ (g)}$$

$$\approx 10^{4-5} \text{ kg} \approx 10 \sim 100 \text{ t 水}$$

\downarrow
O(10) events/yr

data

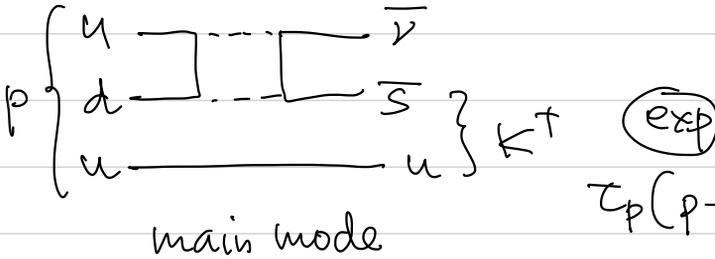
$\tau_p > 10^{34}$ yrs \rightarrow SU(5) GUT 排除
($p \rightarrow \pi^0 + e^+$)

\rightarrow 水中の光速度超光速運動
 \Rightarrow 42227光

minimal SUSY SU(5) GUT $\Rightarrow \tau_p > 10^{35}$ yrs
($p \rightarrow e^+ + \pi^0$)

$M_{GUT} \sim 10^{16}$ GeV
of GUT

$\tau_p > 10^{32}$ yrs
($p \rightarrow \bar{\nu} + K^+$)



$\tau_p(p \rightarrow \bar{\nu} K^+) > 2.3 \times 10^{33}$ yrs

SuperKamiokande

50000 t, 1996年稼働

11,200 photo multipliers

HyperKamiokande

260000 t, 2027年開始予定

40000 photo mul.

SuperKa 10倍の光子量

proton lifetime の
 τ_p は 147
up date

* Fermion mass prediction

Yukawa coupling

$$\psi(5^*) \psi(10) \bar{H}(5^*)$$



down-type quarks
charged leptons

$$\psi(10) \psi(10) H(5)$$

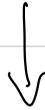


up-type quarks

$SU(5)$ GUT の場合

Yukawa coupling

$$m_e = m_d, m_\mu = m_s, m_\tau = m_b @ M_{GUT}$$



レプトン数保存

$$\frac{m_b}{m_\tau} \sim \frac{m_s}{m_\mu} \sim \frac{m_d}{m_e} \sim 3 @ 10 \text{ GeV}$$

Bottom-tau
unification

$$\begin{aligned} \bar{t} - A &\times \\ \bar{b} - \bar{3} &\times \end{aligned}$$

$$\begin{pmatrix} m_b \sim 4 \sim 5 \text{ GeV} \\ m_\tau \sim 1.7 \sim 1.8 \text{ GeV} \end{pmatrix}$$

$SU(5)$ GUT の
別の予測

* SO(10) GUT

ν_R : SM singlet required from seesaw mechanism

SO(10) は 16次元スピノル表現 Σ を

$$16 = 10_{-1} \oplus 5_{+3}^* \oplus 1_{-5}$$

(SU(5) × U(1) 分解)

q, u^c, e^c d^c, l^c ν_R

1世代の quarks と leptons が 1つの表現にうまくなる。(右巻キ ν も含む)

① gauge boson = adjoint rep. of SO(10)

$$45 = 24 \oplus 10 \oplus 10^* \oplus 1 \quad (\text{SU(5) 分解})$$

↑
SU(5) gauge bosons

⊙ GUT symmetry breaking

$$\left\{ \begin{array}{l} \textcircled{1} SO(10) \rightarrow SU(5) \rightarrow SU(3) \times SU(2) \times U(1) \\ \textcircled{2} SO(10) \rightarrow SU(2)_L \times SU(2)_R \times SU(4) \\ \quad \rightarrow SU(2)_L \times U(1) \times SU(3) \end{array} \right.$$

Ⓛ SO(10) → SU(5) ?

SO(10) の極大部分群群: SU(5) × U(1)

⊙ SO(10) rep. の SU(5) × U(1) 分解 (1 < T < 1)

$$\left\{ \begin{array}{l} 10 = \underline{5}_2 \oplus 5_{-2}^* \text{ (vector)} \\ 45 = 24_0 \oplus 10_4 \oplus 10_{-4}^* \oplus \underline{1}_0 \text{ (目)} \\ 54 = 15_4 \oplus 15_{-4}^* \oplus 24_0 \text{ (目-1)} \\ 120 = 5_2 \oplus 5_{-2}^* \oplus 10_{-6} \oplus 10_6^* \oplus 45_2 \oplus 45_{-2}^* \text{ (目)} \\ 126 = \underline{1}_{-16} \oplus 5_{-2}^* \oplus 10_{-6} \oplus 15_6^* \oplus 45_2 \oplus 50_{-2}^* \text{ (目/2)} \\ 210 = \underline{1}_0 \oplus 5_{-8} \oplus 5_8^* \oplus 10_4 \oplus 10_{-4}^* \oplus 24_0 \oplus 40_{-4} \\ 16 = \underline{10}_{-1} \oplus 5_{-3}^* \oplus \underline{1}_{-5} \text{ (spinor)} \oplus 40_4^* \oplus 75_0 \text{ (目)} \end{array} \right.$$

* GUT Higgs の候補

$SU(5)$ 分解 $15 = 5 + 10 = \underline{SU(5) \text{ singlet } \Sigma}$ など

d.e. 16, 45, 126, 210 ————— (*)

↙ or 16* ↘ or 126*

Yukawa coupling = $\underbrace{16_i 16_j (\text{Higgs})}_{SO(10) \text{ invariant}}$

$\supset \underbrace{1 \ 1}_{\nu_R} (\text{Higgs}) \quad \nu_R \text{ mass term}$

Seesaw mechanism (2 #)

$M_{\nu_R} \sim 10^{14-15} \text{ GeV}$ くらいあることを思いいたすので、

GUT Higgs は、 ν_R に mass を与えるべき。

Yukawa coupling が $SO(10)$ invariant かつ $1 = 10$ は、

Higgs = 10 or 120 or 126* ——— (*)

∴ $16 \otimes 16 = 10 \oplus 120 \oplus 126$ ため、
 Higgs の表現は、これらとのテンソル積に
 Singlet "1" を含むものがある。

上記の表現 $10, 120, 126^*$ に対して、

$$\left\{ \begin{array}{l} 10 \otimes 10 = 1 \oplus 45 \oplus 54 \\ 120 \otimes 120 = 1 \oplus 45 \oplus 54 \oplus 210 \oplus 210 \oplus 770 \\ \quad \oplus 945 \oplus 1050 \oplus 1050^* \oplus 4125 \\ \quad \oplus 5940 \\ 126 \otimes 126^* = 1 \oplus 45 \oplus 210 \oplus 770 \oplus 5940 \oplus 8910 \end{array} \right.$$

$(*)$, $(*)^*$ \Rightarrow 126^* が better

ホーフェルト, M_{GUT} で SM fermion が massless
 になることが自動的に実現

∴ $16 \ 16 \ 126_{H}^* \supset 1 \oplus 1 \oplus 1 + \underbrace{(10+5^*) \oplus (10+5^*) \oplus 1}_{\substack{\text{SU}(5) \text{ invariant} \\ \text{2"td"1}}}$

↑
SU(5)分解

SO(10)の枠組では、SM fermion Yukawa は、
 10 rep Σ Higgs と結合する。

$$16 \ 16 \ 10_H \supset \underbrace{10 \ 10 \ 5_H}_{\text{up type quarks}} \oplus \underbrace{10 \ 5^* \ 5_H^*}_{\text{down-type quarks charged leptons}}$$

$\left(\begin{array}{l} 10 = Q, U_R, E_R \\ 5^* = L, D_R \end{array} \right)$

* $SO(10) \xrightarrow{\langle 126^* \rangle} SU(5) \xrightarrow{?} SU(3) \times SU(2) \times U(1)$

45 rep は 24 rep Σ かつ $24 \subset 45$ に着目

$(45) = \text{diag}(a_1, a_2, a_3, a_4, a_5) \otimes \underbrace{\left(\begin{array}{cc} 1 & 0 \\ 0 & 2 \end{array} \right)}_{\left(\begin{array}{c} 0 \\ 1 \\ -1 \\ 0 \end{array} \right)}$

$\stackrel{?}{\text{2nd anti-sym tensor}} = \left(\begin{array}{c|c|c|c|c} a_1 & & & & \\ \hline -a_1 & & & & \\ \hline & a_2 & & & \\ \hline & -a_2 & & & \\ \hline & & a_3 & & \\ \hline & & -a_3 & & \\ \hline & & & a_4 & \\ \hline & & & -a_4 & \\ \hline & & & & a_5 \\ \hline & & & & -a_5 \end{array} \right)$

$SU(3) \times SU(2) \times U(1)$ が unbroken 2 "axis" は、

$$(45) = \begin{pmatrix} a_1 I_2 \otimes i\sigma_2 & 0 \\ 0 & a_2 I_3 \otimes i\sigma_2 \end{pmatrix} \quad \text{etc}$$

$$[(45), T^a] = 0 \quad \text{etc} \quad T^a \text{ は } SO(6) \text{ の generator}$$

$SO(6)$ generator

$$\Rightarrow T^a = \begin{pmatrix} A_2 \otimes I_2 + S_2 \otimes \sigma_2 & 0 \\ 0 & A_3 \otimes I_2 + S_3 \otimes \sigma_2 \end{pmatrix}$$

(A_n : $n \times n$ anti-sym matrices)
(S_n : $n \times n$ sym matrices)

check

$$\begin{aligned} & [I_2 \otimes i\sigma_2, A_2 \otimes I_2 + S_2 \otimes \sigma_2] \\ &= \left[\begin{pmatrix} 0 & I_2 \\ -I_2 & 0 \end{pmatrix}, \begin{pmatrix} A_2 & -iS_2 \\ iS_2 & A_2 \end{pmatrix} \right] \end{aligned}$$

$$= \begin{pmatrix} iS_2 & A_2 \\ -A_2 & iS_2 \end{pmatrix} - \begin{pmatrix} iS_2 & A_2 \\ -A_2 & iS_2 \end{pmatrix} = 0 \quad \text{OK}$$

$$[I_3 \otimes i\sigma_2, A_3 \otimes I_2 + S_3 \otimes \sigma_2]$$

$$= \left[\begin{pmatrix} 0 & I_3 \\ -I_3 & 0 \end{pmatrix}, \begin{pmatrix} A_3 & -iS_3 \\ iS_3 & A_3 \end{pmatrix} \right]$$

$$= \begin{pmatrix} iS_3 & A_3 \\ -A_3 & iS_3 \end{pmatrix} - \begin{pmatrix} iS_3 & A_3 \\ -A_3 & iS_3 \end{pmatrix} = 0 \quad \text{OK}$$

$$\begin{pmatrix} A_2 \propto \sigma_2 \\ S_2 \propto \sigma_{1,3}, \mathbb{1}_{2 \times 2} \text{ の線形結合} \end{pmatrix} \Rightarrow \begin{matrix} 2 \times 2 \text{ block は} \\ SU(2) \times U(1) \\ \text{を生成} \end{matrix}$$

$$\begin{pmatrix} A_3 \propto \lambda_{1,2,4,5,6,7} \text{ の線形結合} \\ S_3 \propto \lambda_{3,8}, \mathbb{1}_{3 \times 3} \text{ の線形結合} \end{pmatrix} \Rightarrow \begin{matrix} 3 \times 3 \text{ block は} \\ SU(3) \times U(1) \\ \text{を生成} \end{matrix}$$

$$\Rightarrow SU(5) \xrightarrow{(45)} SU(3) \times SU(2) \times U(1)$$

$$\left(\textcircled{\text{注}} \begin{matrix} SU(3) \times SU(2) \times U(1) \times U(1) \text{ と変り易くない} \\ (126^*) \supset (1,0) \text{ は } SU(5) \times U(1) \text{ の } U(1) \text{ の broken する} \\ SU(3) \times SU(2) \times U(1) \times U(1) \text{ とは変り易い} \end{matrix} \right)$$

left-right symmetric

$$\begin{aligned} \textcircled{2} \quad SO(10) &\rightarrow SU(2)_L \times SU(2)_R \times SU(4) \\ &\rightarrow SU(2)_L \times U(1)_F \times SU(3)_C \end{aligned}$$

Pati-Salam
GUT

lepton number
as the 4th
color

LH

$$(2, 1, 4) = (2, 1, 3) \oplus (2, 1, 1)$$

RH

$$(1, 2, 4) = (1, 2, 3) \oplus (1, 2, 1) \quad \begin{pmatrix} u & \bar{\nu} \\ d & e \end{pmatrix}_R$$

① $SO(10)$ 表現の $SU(2)_L \times SU(2)_R \times SU(4)$ 分解 (10) の

$$\left\{ \begin{aligned} 10 &= (2, 2, 1) \oplus (1, 1, 6) \\ 16 &= (2, 1, 4) \oplus (1, 2, 4^*) \\ 45 &= (3, 1, 1) \oplus (1, 3, 1) \oplus (1, 1, 15) \oplus (2, 2, 6) \\ 54 &= \underline{(1, 1, 1)} \oplus (3, 3, 1) \oplus (1, 1, 20) \oplus (2, 2, 6) \\ 120 &= (2, 2, 1) \oplus (1, 1, 10) \oplus (1, 1, 10^*) \oplus (3, 1, 6) \\ &\quad \oplus (1, 3, 6) \oplus (2, 2, 15) \\ 126 &= (1, 1, 6) \oplus (3, 1, 10^*) \oplus (1, 3, 10) \oplus (2, 2, 15) \\ 210 &\supset \underline{(1, 1, 1)} \oplus (1, 1, 15) \oplus (2, 2, 6) \oplus (3, 1, 15) \\ &\quad \oplus \underline{(1, 3, 15)} \oplus (2, 2, 10) \oplus (2, 2, 10^*) \end{aligned} \right.$$

* Symmetry breaking

$$SO(10) \xrightarrow{\substack{(54) \\ \text{or } (210)}} SU(2)_L \times SU(2)_R \times SU(4)$$

$$\xrightarrow{(210) \supset \langle (1, 3, 15) \rangle} SU(2)_L \times U(1)_R \times SU(3)_C \times U(1)_{B-L}$$

$$\xrightarrow{(126) \supset \langle (1, 3, 10) \rangle} SU(2)_L \times U(1)_Y \times SU(3)_C$$

$$Y = I_{3R} + \sqrt{\frac{2}{3}} I_{B-L} \quad \frac{1}{2} \begin{pmatrix} \frac{1}{3} & & & \\ & \frac{1}{3} & & \\ & & \frac{1}{3} & \\ & & & -1 \end{pmatrix} \sqrt{\frac{3}{2}}$$

⑨ check of hypercharges

$$Y = I_{3R} + \sqrt{\frac{2}{3}} I_{B-L} = \frac{1}{2} \begin{pmatrix} 1 & \\ & -1 \end{pmatrix} + \frac{1}{2} \begin{pmatrix} \frac{1}{3} & & & \\ & \frac{1}{3} & & \\ & & \frac{1}{3} & \\ & & & -1 \end{pmatrix} \sqrt{\frac{3}{2}}$$

$$Y(q_L) = \frac{1}{3}, \quad Y(\ell) = -1$$

$$\Rightarrow Y(u_R) = 1 + \frac{1}{3} = \frac{4}{3} \quad Y(\nu_R) = 1 - 1 = 0$$

$$Y(d_R) = -1 + \frac{1}{3} = -\frac{2}{3} \quad Y(e_R) = -1 - 1 = -2$$

* E_6 GUT

$$\left\{ \begin{array}{l} \text{fundamental rep. } 27 = 16_1 \oplus 10_{-2} \oplus 1_4 \\ \text{adjoint rep. } 78 = 45_0 \oplus 1_0 \oplus 16_{-3} \oplus 16_3^* \end{array} \right.$$

$SO(10) \times U(1)$ 分解

E_6 breaking pattern は $T = C \supset L$ あり。
 $T = E_6$ あり

1-step breaking

$$E_6 \longrightarrow SU(3) \times SU(2) \times U(1)$$

$(35)_1$ $\&$ $(35)_1$ anti-sym
sym

∴ $27 \times 27 = 27^* \oplus 35_1 \text{ sym} \oplus 35_1 \text{ anti-sym}$

$$\left\{ \begin{array}{l} 35_1 \text{ sym} = 1_{-8} \oplus 10_{-2} \oplus 16_{-5} \oplus 54_4 \oplus 126_{-2} \oplus 144_1 \\ 35_1 \text{ anti-sym} = 10_{-2} \oplus 16_{-5}^* \oplus 16_1 \oplus 45_4 \oplus 120_{-2} \oplus 144_1 \end{array} \right.$$

\uparrow \downarrow
 $SO(10) \times U(1)$ 分解

$(1, 1, 0)$ under $SU(3) \times SU(2) \times U(1)$ が $\hat{3}$ だけ入る

のは、 $SU(5)$ の 24, 75 のみ

\cap

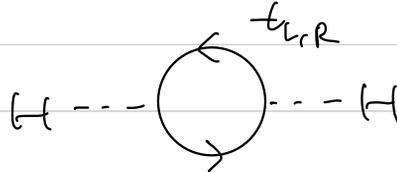
$SO(10)$ の 45

Motivation of Supersymmetry

- ① gauge hierarchy problem の 解
- ② gauge coupling unification
- ③ dark matter

§ Solution to the gauge hierarchy problem

SM において, Higgs (mass)² の 1-loop correction のうち, top quark loop の寄与が支配的



$$L_{\text{top}} = -\frac{y_t}{\sqrt{2}} H \bar{t}_L t_R$$

th.c.
 $m_t = \frac{y_t}{\sqrt{2}} \langle H \rangle$

$$\Delta m_H^2(\text{top}) = -N_c \int \frac{d^4 k}{(2\pi)^4}$$

color

$$\text{Tr} \left[\frac{i}{\not{k} - m_t} \left(\frac{-i y_t}{\sqrt{2}} \right) \frac{i}{\not{k} - m_t} \left(\frac{-i y_t^*}{\sqrt{2}} \right) \right]$$

fermion loop

$$= -\frac{N_c}{2} |y_t|^2 \int \frac{d^4 k}{(2\pi)^4} \frac{\text{Tr} [(k + m_t)^2]}{(k^2 - m_t^2)^2}$$

||

$$\text{Tr} (k^2 + 2m_t k + m_t^2)$$

||

$$4(k^2 + m_t^2)$$

$$\begin{aligned} &\Rightarrow -\frac{iN_c}{8\pi^2} |y_t|^2 \left[\underbrace{-\Lambda^2 + 3m_t^2}_{\substack{\text{cutoff scale により} \\ \text{2次の発散性} \\ \text{(2次発散)}}} \ln\left(\frac{\Lambda^2 + m_t^2}{m_t^2}\right) + (\text{finite @ } \Lambda \rightarrow \infty) \right] \\ &\text{Wick rotation} \\ &\text{cutoff integral} \\ &(\Lambda) \end{aligned}$$

この2次発散をcancelするために.

N_f の scalars ϕ_L, ϕ_R を新たに導入する

$$\begin{aligned} \mathcal{L}_{\text{scalar interaction}} &= -\frac{\lambda}{2} H^2 (|\phi_L|^2 + |\phi_R|^2) \\ &\quad - H (\mu_L |\phi_L|^2 + \mu_R |\phi_R|^2) \\ &\quad - m_L^2 |\phi_L|^2 - m_R^2 |\phi_R|^2 \end{aligned}$$

Scalar loop ($\approx \pm 3$ Higgs (mass)²) の $\frac{1}{16\pi^2}$



Fig 1

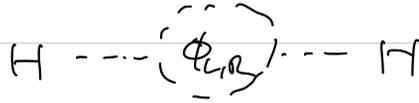


Fig 2

$$\text{Fig 1} = -i \lambda N \int \frac{d^4 k}{(2\pi)^4} \left[\frac{i}{k^2 - m_L^2} + \frac{i}{k^2 - m_R^2} \right]$$

$\frac{1}{2}$ の $\cancel{2}$ は $\cancel{2}$ の $\cancel{2}$
 H と 2 の $\cancel{2}$ の
 $\cancel{2}$ の $\cancel{2}$ の $\cancel{2}$ の $\cancel{2}$

$$\Rightarrow \frac{-i \lambda N}{16\pi^2} \left[2\Lambda^2 - \sum_{i=L,R} m_i^2 \ln \left(\frac{\Lambda^2 + m_i^2}{m_i^2} \right) + (\text{finite}) \right]$$

Wick rotation
 cutoff integral

$$\text{Fig 2} = N \int \frac{d^4 k}{(2\pi)^4} \left[\left(\frac{i}{k^2 - m_L^2} (-i\mu_L) \right)^2 + (L \leftrightarrow R) \right]$$

$$= \frac{iN}{16\pi^2} \left[\sum_{i=L,R} \mu_i^2 \ln \left(\frac{\Lambda^2 + m_i^2}{m_i^2} \right) + (\text{finite}) \right]$$

$$\Lambda^2: \frac{iN_c}{8\pi^2} |y_\epsilon|^2 - \frac{i\lambda N}{8\pi^2} = 0$$

$$\rightarrow \boxed{N = N_c, |y_\epsilon|^2 = \lambda}$$

$$\ln \Lambda^2: -\frac{3N_c}{8\pi^2} i |y_\epsilon|^2 \mu_\epsilon^2 + \frac{i\lambda N}{16\pi^2} (m_L^2 + m_R^2)$$

$$+ \frac{iN}{16\pi^2} (\mu_L^2 + \mu_R^2) = 0$$

$$\rightarrow \boxed{\mu_L^2 = \mu_R^2 = m_\epsilon^2, \mu_L^2 = \mu_R^2 = 2\lambda m_\epsilon^2}$$

この条件をみたすのが: Supersymmetry

Boson \leftrightarrow Fermion

SUSY が破れたあとでは、

$$\delta m_H^2 \sim \frac{g^2}{16\pi^2} m_{\tilde{t}}^2 \log\left(\frac{m_{\tilde{t}}^2}{m_t^2}\right)$$

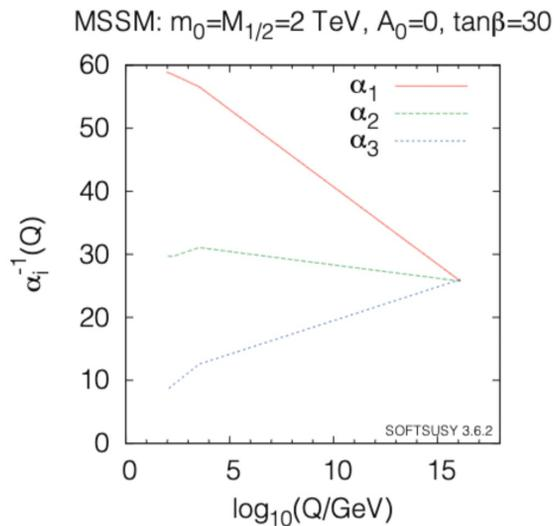
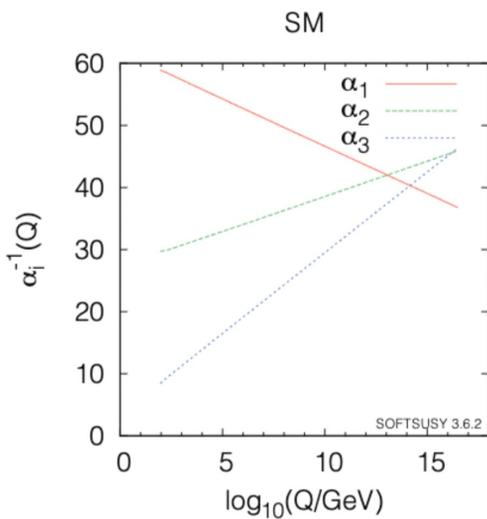
$m_{\tilde{t}} \sim \mathcal{O}(\text{TeV})$ である、

$$\delta m_H^2 \sim \mathcal{O}((100 \text{ GeV})^2) \quad \left(\begin{array}{l} \text{Higgs mass} \\ \text{に712は後述} \end{array} \right)$$

§ Gauge coupling unification

LEP 実験

low energy における gauge coupling の 精密測定 が進むと, Standard model では, gauge coupling が 系統一致 せず, MSSM では, よく一致 することがわかった。



$\Theta(\text{TeV})$ の SUSY particles の寄与により
unification が実現

§ Dark matter

Dark matter がみたすべき条件

- ① EM neutral
- ② massive
- ③ stable

これらをもみたす Standard model 粒子として、
neutrino があるが、残存量を説明できない
→ Beyond the Standard Model

SUSY では、最も軽い SUSY 粒子 が候補
LSP (lightest Super Particle)

- ① lightest neutralino → 最も familiar
 \tilde{B} (bino), \tilde{W}^0 (wino) $\tilde{H}_u^0, \tilde{H}_d^0$ (higgsino)
- ② gravitino (→ 後述)
- ③ sneutrino → direct search で「ほぼ」excluded

* Minimal Supersymmetric Standard Model (MSSM)

Standard model + SUSY + 3世代 + 2最小模型

① quarks, lepton \Rightarrow scalar field と多重項
 \hookrightarrow squark, slepton

$$Q = \begin{pmatrix} \tilde{q} \\ q \end{pmatrix}_L \quad \bar{U} = \begin{pmatrix} \tilde{u} \\ u \end{pmatrix}_R \quad \bar{D} = \begin{pmatrix} \tilde{d} \\ d \end{pmatrix}_R \quad L = \begin{pmatrix} \tilde{l} \\ l \end{pmatrix}_L \quad \bar{E} = \begin{pmatrix} \tilde{e} \\ e \end{pmatrix}_R$$

② W, Z, γ , G \Rightarrow fermion field と多重項

$$V_W = \begin{pmatrix} \tilde{W}_\mu \\ W_\mu \end{pmatrix} \quad V_Z = \begin{pmatrix} \tilde{Z}_\mu \\ Z_\mu \end{pmatrix} \quad V_\gamma = \begin{pmatrix} \tilde{\gamma}_\mu \\ \gamma_\mu \end{pmatrix} \quad V_G = \begin{pmatrix} \tilde{g}_\mu \\ g_\mu \end{pmatrix}$$

wino
zino
gaugino
photino
gluino

(これらの多重項に正確には 補助場 が
 必要で省略している)

$$\begin{aligned} Q &= \tilde{q} + \sqrt{2}\theta q + F_q \\ V &= \theta \sigma^{\mu\nu} \theta V_\mu + i\theta\lambda + i\bar{\theta}\bar{\lambda} + \theta^2 D \end{aligned}$$

EOM + 2世代 SUSY Lagrangian を構成

① Higgs scalar field は. fermion field と多重項
 しかた. MSSM では 以下の理由から 最低
2つは必要

① Higgs field と多重項をなす fermion は
 Weyl fermion であるため. Higgsino

$(SU(2)_L)^2 U(1)_Y$ $P(1, 2, 1)_{-}$ Σ も $\bar{\Sigma}$
 $SU(2)_L$ Witten $P(1, 2, 1)_{-}$

② SM Yukawa coupling (quark)

$$\mathcal{L} = \underbrace{Y_d \bar{d} H Q}_{\downarrow} + \underbrace{Y_u \bar{u} \tilde{H} Q}_{\downarrow}$$

Σ のまま SUSY 4e
 できる

$\tilde{H} = i\sigma^2 H^*$ のために
 Σ のまま SUSY 4e
 できない

(複素共役場が必要)

以上より, up-type quark に結合する

Higgs { scalar ε 導入する (複素共役で済)
 fermion

最も一般の $\theta < 1$ の可能なポテンシャル項は,

$$\mathcal{L}_1 = \int d^2\theta \left[\underbrace{\gamma_u^{ij} Q^i H_u \bar{U}^j}_{\substack{\text{up-type} \\ \text{Yukawa}}} + \underbrace{\gamma_d^{ij} Q^i H_d \bar{D}^j}_{\substack{\text{down-type} \\ \text{Yukawa}}} \right]$$

θ^2 項を省略可

$$+ \underbrace{\gamma_e^{ij} L^i H_d \bar{E}^j}_{\substack{\text{charged lepton} \\ \text{Yukawa}}} + \underbrace{\mu H_u H_d}_{\substack{\mu\text{-term} \\ \mu \tilde{H}_u \tilde{H}_d \\ \text{(Higgsino mass)}}$$

$$\left(Q = \tilde{q} + \sqrt{2} \theta q + \theta^2 F_q \text{ etc} \right)$$

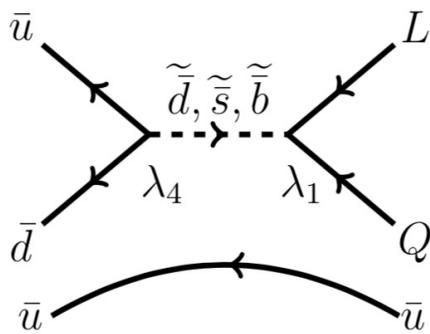
$i, j = 1, 2, 3$ 世代数 \rightarrow $7 \times 2 \times 2$ 数

$$\mathcal{L}_2 = \int d^2\theta \left[\lambda_1^{ijk} Q^i L^j \bar{D}^k + \lambda_2^{ijk} L^i L^j E^k + \lambda_3 L^i H u + \lambda_4^{ijk} \bar{D}^i \bar{D}^j \bar{U}^k \right]$$



~~B~~ and/or ~~V~~ interactions

實際、squark exchange による proton decay



がわかる。

$$P \rightarrow e^+ \pi^0 \text{ or } \bar{\nu} \pi^+$$

(← from Csaki's lecture note)

squark mass は、SUSY breaking scale による

通常 $\mathcal{O}(TeV)$ 程度、この interaction は

suppress してはいるが、 $\lambda_1 \lambda_4$ による

シンプルなお方法は、matter parity を課す

$$\mathbb{Z}_2 \text{ symmetry } P_M = (-1)^{3(B-L)}$$

$$\begin{cases} P_M(\psi) = (-1)^{3 \times \frac{1}{2}} = -1 \\ P_M(Q) = (-1)^{3 \times (-1)} = -1 \\ P_M(\text{Higgs}) = (-1)^0 = +1 \\ P_M(\text{gauge}) = (-1)^0 = +1 \end{cases}$$

superpartner
と異なり parity

$$P_M(\text{yukawa}) = P_M(\mu\text{-term}) = +1$$

$$\begin{aligned} P_M(Q\bar{L}\bar{D}) &= P_M(L\bar{L}\bar{E}) = P_M(LH_u) \\ &= P_M(\bar{U}\bar{D}\bar{D}) = -1 \end{aligned}$$

通常は、matter parity の代わりに R -parity を課す。

$$P_R = (-1)^{3(B-L) + 2S} \rightarrow \text{spin}$$

SM particle +1
superparticle -1

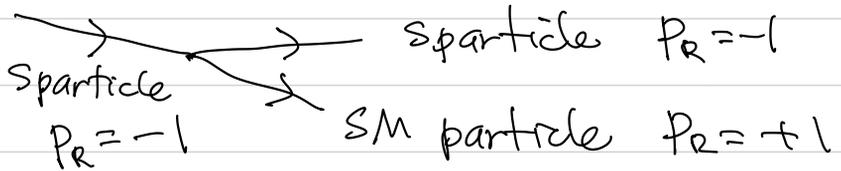
(spin に 2 を掛けた)

matter parity の保存 (\Leftrightarrow) R-parity の保存

\therefore Lorentz 不変な理論であれば, matter
である $\psi, \bar{\psi}$ を含めれば偶数個含む
 $\Rightarrow (-1)^{2S}$ factor は ± 1

* R-parity 保存からの帰結

① 最も軽い superparticle は安定である



最も軽い量の superparticle は、反応先が
軽い

Lightest supersymmetric particle (LSP)

② LSP が, EM neutral & color singlet
 \Rightarrow WIMP DM の候補

② LSP以外の super particle は、LSP へと
"衰壊" decay する

③ Collider 実験では、始状態が SM 粒子で
 $P_R = +1$ のとき、Sparticle は 対生成 し、
LSP へと decay する。LSP は missing energy
と identify

SUSY breaking

現実世界では、SUSYは成立していない

もし SUSY が成立 $\Leftrightarrow m_{\text{boson}} = m_{\text{fermion}}$

SUSY breaking の問題は、2つの側面がある

- ① SUSY を自発的に破る χ カスミ
- ② SUSY の破れを、MSSM に伝達する χ カスミ

① について

SUSY 代数

$$\{Q, \bar{Q}\} = 2\sigma^\mu P_\mu$$

$$\sigma^\mu = (1, \sigma^i)$$

\uparrow
SUSY 変換の生成子
boson \leftrightarrow fermion

\uparrow
並進演算子

\rightarrow SUSY 変換を2回作用 = 並進

この代数より $P_\mu = \frac{1}{4} \sigma_\mu \{Q, \bar{Q}\} + \text{c.c.}$

$$H = P_0 = \frac{1}{4} (Q_1 \bar{Q}_1 + \bar{Q}_1 Q_1 + Q_2 \bar{Q}_2 + \bar{Q}_2 Q_2)$$

\uparrow
Hamiltonian

$$\langle 0 | H | 0 \rangle = \frac{1}{4} \langle 0 | Q_1 \bar{Q}_1 + \bar{Q}_1 Q_1 + Q_2 \bar{Q}_2 + \bar{Q}_2 Q_2 | 0 \rangle$$

$$\rightarrow \begin{cases} = 0 & (\Leftrightarrow Q|0\rangle = 0 \text{ SUSY is unbroken}) \\ \neq 0 & (\Leftrightarrow Q|0\rangle \neq 0 \text{ SUSY is broken}) \end{cases}$$

\rightarrow 真空でのエネルギー $\langle 0 | H | 0 \rangle$ が SUSY の order parameter

(注) SUSY を gauge 化した SUGRA では、この性質は成立しない

また、真空のエネルギーは、^{ポテンシャル}補助場 F, D の期待値の和でかける

$$V = \underbrace{\sum_i |\langle F_i \rangle|^2}_{\text{matter multiplet からの寄与}} + \underbrace{\sum_a \frac{g^2}{2} (\langle D^a \rangle)^2}_{\text{vector multiplet からの寄与}}$$

"F-type breaking" D-type breaking

どのような理論において、SUSYが破れるか？

通常は、 $\langle D^a \rangle = 0$ を満たす解が容易に

$$\sum_i \langle \phi_i^+ \rangle T^a \langle \phi_i \rangle \quad (T^a: \text{generator})$$

得られるので、そのVEVのもとで、 $\langle F_i \rangle \neq 0$ となる理論を探す。

探す上で重要な性質

- ① 非くりこみ定理 (non renormalization theorem)
- ② Witten 指数

① 非くりこみ定理

相互作用項 (スーパーポテンシャル) が擾動力の
範囲内で 量子補正をうけない

→ $F_i = -\left(\frac{\partial W}{\partial \phi_i}\right)^*$ スカラーポテンシャル 及び古典シフト

$\langle F_i \rangle = 0$ ならば $\langle F_i \rangle = 0 @ \text{any loop}$

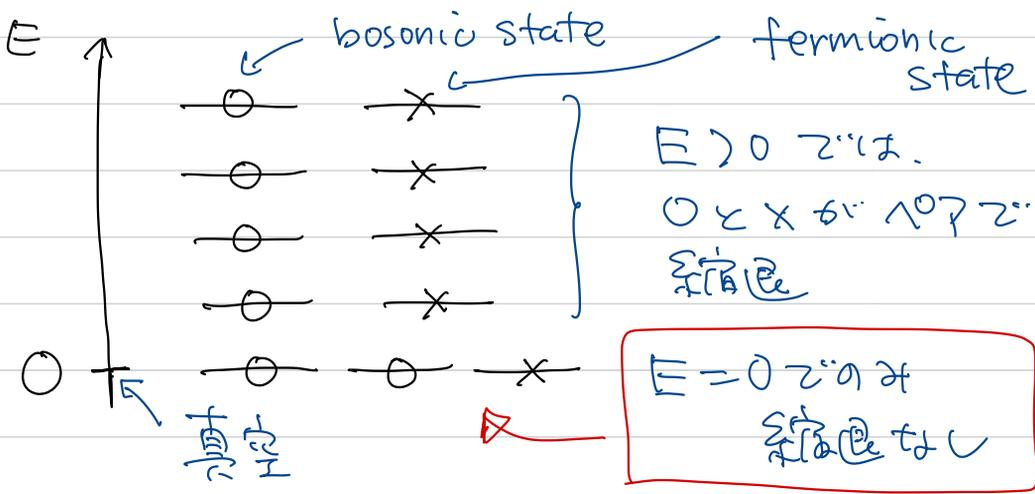
$\langle F_i \rangle \neq 0$ by non-perturbative effects

Dynamical SUSY Breaking

② Witten 指数 = $\text{Tr} (-1)^F$ (F: フェルミオン数)

Witten 指数は、SUSY 真空の数 をカウント

∴ SUSY 理論のエネルギー - スpectrum



2.2.

$$\text{Tr}(-1)^F \neq 0 \Rightarrow \text{SUSY}$$



Super Yang-Mills theory } 破る
Massive Super QCD } 破る



Chiral SQCD 2", SUSY 破る model
Σ 作る (massless SQCD + Singlet 2"
破る 作る 作る 作る)

② 超対称性の破れの伝達機構

① で生成した超対称性の破れをどのように Standard model へ伝えるか?

一番 simple なのは、MSSM の枠内で SUSY の破れがダイレクトに伝達する。

↳ これはうまくいかない

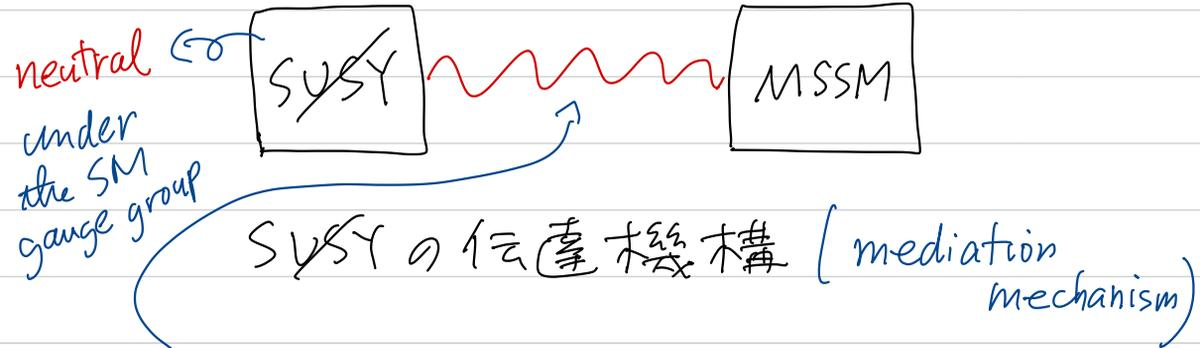
∴ SUSY mass sum rule

$$\underbrace{\text{Str}}_{\text{Supertrace}} m^2 = \sum_{J: \text{spin}} (2J+1) (-1)^{2J} m_J^2$$
$$\Rightarrow \underbrace{(m^2 + F)}_{\text{boson}} + \underbrace{(m^2 - F)}_{-2 \times m^2 \leftarrow \text{fermion}}$$

F-type SUSY breaking

(ex. η_{\pm} の場合, かたがた η_{\pm} より軽い
スカラー η_{\pm} が存在する \rightarrow 未発見)
 $\mu_{\eta} \eta_{\pm} = 1 \sim 3 \text{ MeV}$

超対称性が破れるセクターと MSSM セクターを分ける必要がある。



この部分をどの interaction で伝達させるかで、バリエーションがある

- gravity mediation \rightarrow gravity
 - gauge mediation \rightarrow SM gauge int.
 - anomaly mediation \rightarrow superconformal anomaly
 - gaugino mediation
 - Dirac gaugino mediation
 - Radion mediation \rightarrow radion
 - ⋮
- } gaugino

* Soft SUSY breaking terms in MSSM

SUSYの破れをパラメタライズし、

2次発散を新たに生じない項が分類済

$$\mathcal{L}_{\text{soft}} = -\frac{1}{2} \left(M_3 \tilde{g} \tilde{g} + M_2 \tilde{W} \tilde{W} + M_1 \tilde{B} \tilde{B} \right) + \text{h.c.}$$

gaugino mass

$$- \left(A_u \tilde{q} H_u \tilde{u} + A_d \tilde{q} H_d \tilde{d} + A_e \tilde{\ell} H_d \tilde{e} \right) + \text{h.c.}$$

A-term

(Yukawa 相互作用の SUSY 版)

Non-holomorphic
Scalar mass

$$- \left(m_{\tilde{q}}^2 \tilde{q}^{\dagger} \tilde{q} - m_{\tilde{u}}^2 \tilde{u}^{\dagger} \tilde{u} - m_{\tilde{d}}^2 \tilde{d}^{\dagger} \tilde{d} - m_{\tilde{\ell}}^2 \tilde{\ell}^{\dagger} \tilde{\ell} - m_{\tilde{e}}^2 \tilde{e}^{\dagger} \tilde{e} - m_{H_u}^2 H_u^{\dagger} H_u - m_{H_d}^2 H_d^{\dagger} H_d \right)$$

$$- \left(B h_u h_d + \text{h.c.} \right)$$

B-term (holomorphic scalar mass)

これらのIPアドレスは、SUSYの伝達機構を
指定しないかぎりフリー

どの伝達機構を採用するかで、
SUSY IPアドレスのIPアドレスが決まる。

→ SUSYの検証において重要な情報

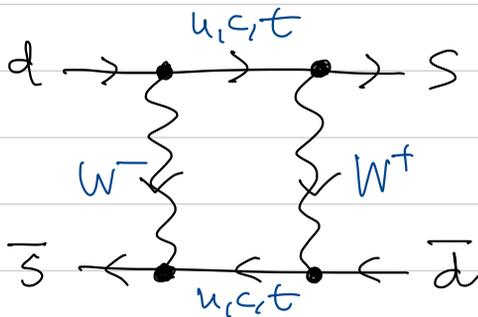
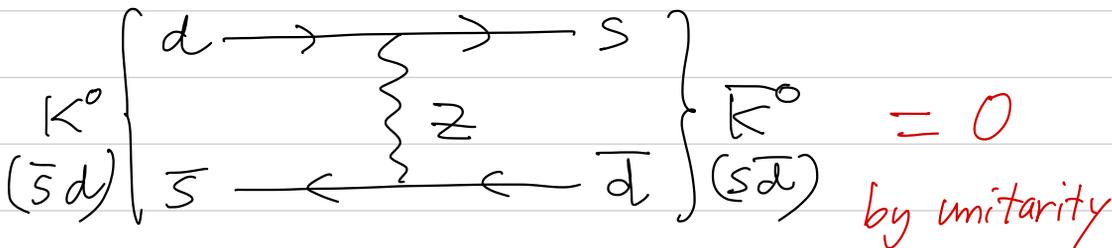
どの伝達機構を採用するかは criterion の
1つとして、SUSY flavor problem の回避がある

→ FCNC process をいかにして suppress できるか?

ex. $K^0 - \bar{K}^0$ mixing

→ Flavor changing neutral current

SM → GIM mechanism (2味) suppressed



$$\approx \frac{g^4}{16\pi^2} \frac{(m_c^2 - m_u^2)^2}{M_W^4 m_c^2} (\sin\theta_c \cos\theta_c)^2$$

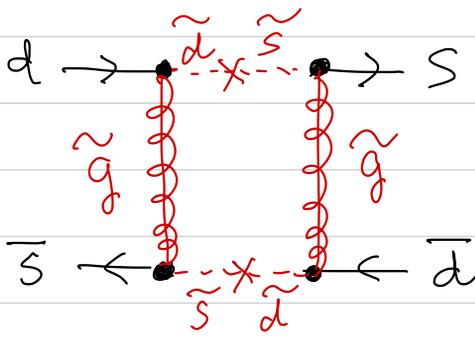
"Box diagram"

$$\approx 10^{-4} \left(\frac{m_c}{M_W}\right)^2 \times \underbrace{\text{W}}_{\text{B-decay}}$$

実験で A から $M_c \approx 1.4 \text{ GeV}$ 以下

MSSM における squarks & sleptons の mass matrix と SM Yukawa matrix は一般に同時対角化できない
 → New sources of flavor violation

$K^0 - \bar{K}^0$ mixing の例だと、



$$\approx d_3^2 \frac{(m_d^2 - m_s^2)^2}{m_{\text{susy}}^4} \frac{1}{m_{\text{susy}}^2}$$

(m_{susy} : ~~susy~~ scale)

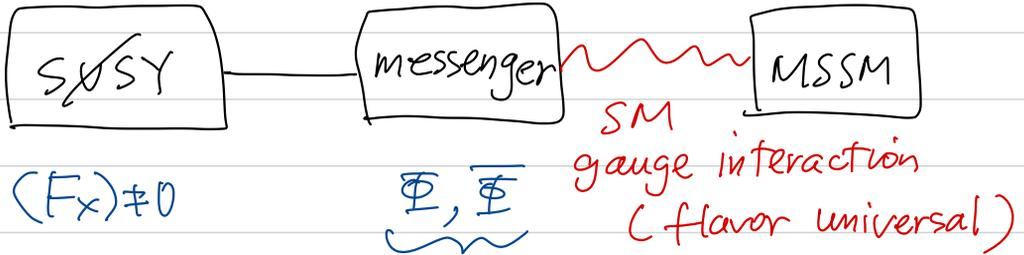
実験データと比較すると、

$$\frac{m_d^2 - m_s^2}{m_{\text{susy}}^2} \lesssim 4 \times 10^{-3} \left(\frac{500 \text{ GeV}}{m_{\text{susy}}} \right)$$

sfermion masses are highly universal in flavor space

* Gauge mediation of SUSY

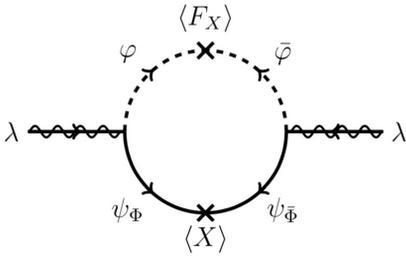
flavor universality を自然に実現する



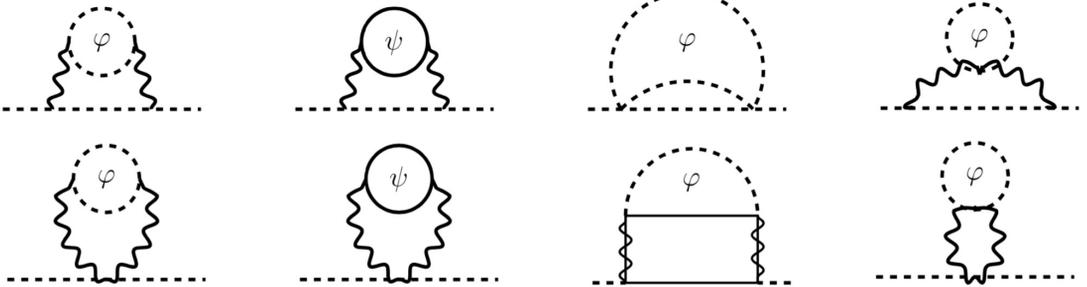
SM gauge group に $U(1)$
vector-like な $U(1)$ の多重項
 典型例として $SU(5)$ の $5, \bar{5}$

- ① 何らかの X が $\neq 0$ で SUSY が破れる
- ② SUSY 破れの場 X と messenger $\Phi, \bar{\Phi}$ の間に相互作用 $W = X \bar{\Phi} \Phi$ を仮定
- ③ messenger multiplet の scalar, fermion の間には mass splitting
 $m_{\Phi}^2 = \langle X \rangle \left(\pm \langle F_x \rangle \right)$, $m_{\Psi} = \langle X \rangle$

④ この mass splitting が loop diagram Σ (扇) ψ^2 ,
 MSSM \sim 伝達



$$\Rightarrow M_i = \frac{g_i^2 \langle F_X \rangle}{16\pi \langle X \rangle}$$



$$\Rightarrow m^2 \sim \left(\frac{g^2}{16\pi^2} \right)^2 C_i \left(\frac{\langle F_X \rangle}{\langle X \rangle} \right)^2$$

Flavor universal

2次のカシミヤ因子

$$\sum_{\alpha} (T_R^{\alpha} T_R^{\alpha}) = C_R \mathbb{1}$$

スノウボウの特徴

- gaugino mass \approx sfermion mass
- $M_3 : M_2 : M_1 = \alpha_3 : \alpha_2 : \alpha_1$
- $m_{\tilde{q}}^2 : m_{\tilde{e}}^2 : m_{\tilde{\nu}}^2 = \frac{4}{3} \alpha_3 : \frac{3}{4} \alpha_2 : \frac{3}{5} \alpha_1$
- $M_i \approx m \approx \mathcal{O}(1 \text{ TeV})$

$$\Rightarrow \frac{\langle F_x \rangle}{\langle X \rangle} \sim \mathcal{O}(100 \text{ TeV})$$

$$\langle F_x \rangle \sim \mathcal{O}(100 \text{ TeV}) \times \langle X \rangle$$

伝達スノウボウ $< M_p$

$$< \mathcal{O}(100 \text{ TeV}) \times M_p \sim 10^{26} \text{ GeV}^2$$

$$\langle X \rangle \sim \sqrt{\langle F_x \rangle} \text{ とすれば } \langle F_x \rangle \sim 10^{30} \text{ GeV}^2$$

→ graviton (spin 2) → superpartner
spin 3/2
gravitino mass

$$m_{3/2} \sim \frac{\langle F_x \rangle}{\sqrt{3} M_p} \sim \frac{10^{10}}{\sqrt{3} \times 10^{19}}$$

Supergravity is $\langle F_x \rangle \sim 10^{10} \text{ GeV}^2$

$\sim \mathcal{O}(0.1 \text{ eV}) \rightarrow$ LSP
DM candidate

§ EW symmetry breaking in MSSM

MSSM では、Higgs 2重項が2つ必要

(2 Higgs doublet model の1つ)

$$H_u = \begin{pmatrix} H_u^+ \\ H_u^0 \end{pmatrix} \quad H_d = \begin{pmatrix} H_d^0 \\ H_d^- \end{pmatrix}$$

Higgs potential

SMでは free parameter "λ" 2つあるが gauge coupling 1つ

$$V_H = \frac{g^2}{2} |H_u^+ H_d|^2 + \frac{1}{8} (g^2 + g'^2) (|H_u|^2 - |H_d|^2)^2$$

gauge interaction 由来の4次項

$$+ |\mu|^2 (|H_u|^2 + |H_d|^2)$$

SUSY 不変な2次項

$$+ m_u^2 |H_u|^2 + m_d^2 |H_d|^2$$

$$+ (B H_u \cdot H_d + h.c.)$$

soft SUSY の2次項 (B-term)

neutral component に着目すると、

$$V_H^0 = \frac{1}{8} (g^2 + g'^2) (|H_u^0|^2 - |H_d^0|^2)^2 + \sum_{i=u,d} (|\mu|^2 + m_{H_i}^2) |H_i^0|^2 - 2B \operatorname{Re}(H_u^0 H_d^0)$$

EW symmetry breaking conditions

- ① neutral Higgs mass matrix の固有値のうち 1 は negative

$$\begin{pmatrix} H_u^0 & H_d^0 \end{pmatrix} \begin{pmatrix} |\mu|^2 + m_{H_u}^2 & -B \\ -B & |\mu|^2 + m_{H_d}^2 \end{pmatrix} \begin{pmatrix} H_u^0 \\ H_d^0 \end{pmatrix}$$

$$\Rightarrow \boxed{(|\mu|^2 + m_{H_u}^2)(|\mu|^2 + m_{H_d}^2) - B^2 < 0}$$

(det < 0)

② $|H_u^0| = |H_d^0|$ の方向 (D-flat direction) 2"
 (mass)² が **positive**

$$\Rightarrow 2|\mu|^2 + m_{H_u}^2 + m_{H_d}^2 - 2B > 0$$

①, ② の条件 2", $m_{H_u}^2 = m_{H_d}^2$ とすると,

$$\begin{cases} (|\mu|^2 + m_{H_u}^2)^2 < B^2 \\ |\mu|^2 + m_{H_u}^2 > B \end{cases} \quad \text{となり 矛盾}$$

これは, SUSY breaking scale $>$ EW scale
 2" みたすことは可能

その²³理由, M_{SUSY} から M_{EW} への RGE running
 を考慮すると, $m_{H_u}^2$ の β -function に
 (Yukawa coupling)² が含まれる。

$$\left\{ \begin{array}{l} \frac{dm_{H_u}^2}{d \ln \mu} \sim \frac{1}{8\pi^2} \left(3 \underbrace{Y_t^2}_{\text{red}} (m_{H_u}^2 + M_{Q_3}^2 + M_{b_R}^2) + \dots \right) \\ \frac{dm_{H_d}^2}{d \ln \mu} \sim \frac{1}{8\pi^2} \left(3 \underbrace{Y_b^2}_{\text{red}} (m_{H_d}^2 + M_{Q_3}^2 + M_{b_R}^2) + \dots \right) \end{array} \right.$$

$$\Rightarrow m_{H_u}^2 < m_{H_d}^2 \text{ @ weak scale}$$

$$\langle H_u^0 \rangle = \frac{v}{\sqrt{2}} \sin \beta, \quad \langle H_d^0 \rangle = \frac{v}{\sqrt{2}} \cos \beta$$

$\therefore \therefore$, SM Higgs mass $\exists \neq \exists \& \exists \&$.

$$m_h^2 = \frac{1}{2} \left[M_Z^2 + M_A^2 - \sqrt{(M_Z^2 + M_A^2)^2 - 4M_A^2 M_Z^2 \cos^2 2\beta} \right]$$

$$A: \text{CP odd Higgs } M_A^2 = \frac{B}{\sin \beta \cos \beta}$$

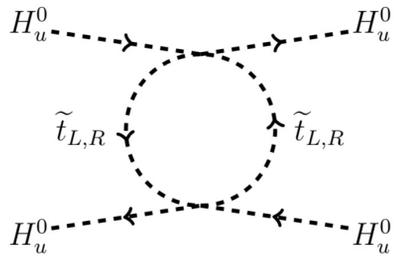
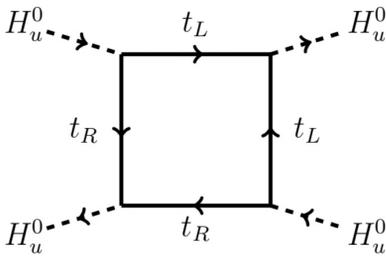
$$\left(\begin{array}{l} H_u^0 = \frac{1}{\sqrt{2}} \left(\sin \beta (v+h) + \cos \beta H + i(\cos \beta A - \sin \beta G^0) \right) \\ H_d^0 = \frac{1}{\sqrt{2}} \left(\cos \beta (v+h) - \sin \beta H + i(\sin \beta A + \cos \beta G^0) \right) \end{array} \right)$$

m_h^2 (≠ $m_{H^0}^2$, $M_A^2 \rightarrow \infty$ limit ε と 3ε).

$$m_h \leq M_Z |\cos 2\beta| \leq M_Z$$

tree level では, unrealistic ($m_h = 125 \text{ GeV}$)

Higgs の 4次 coupling の 1-loop correction
 が重要 \rightarrow top, stop loop



$$\Rightarrow \Delta m_h^2 = \frac{3}{4\pi^2} v^2 y_t^4 \sin^2 \beta \ln \left(\frac{M_{\tilde{t}_1} M_{\tilde{t}_2}}{m_{\tilde{t}}^2} \right)$$

$$y_t = \frac{\sqrt{2} m_t}{v \sin \beta} \approx \frac{(90 \text{ GeV})^2}{\sin^2 \beta}$$

$$m_h < 130 \text{ GeV}$$

(y_t が GUT scale
 2: ∞ に ε と 3ε)

§ Gauge hierarchy problem solutions

① Large Extra Dimension (\supset Universal Extra Dimension (UED))

spacetime の dimension $\Sigma D = 4 + \delta$ とし、

δ の $\frac{1}{L}$ は $\frac{1}{M_D}$ と対応する。

Einstein-Hilbert action \leftarrow D-dim

$$S_{EH} = -\frac{1}{2} M_D^{2+\delta} \int d^4x dy^\delta \sqrt{-g} R$$

D: $\frac{1}{L}$ の $\frac{1}{L}$ と対応する
reduced

D: Riemannic det.

$$\left(\begin{array}{l} \dim(g) = 0 \rightarrow \dim(R) \sim \dim(\partial^2 R) = 2 \\ \uparrow \\ \text{fluctuation} \end{array} \right) \quad g_{MN} = \eta_{MN} + \frac{h_{MN}}{M_p^{2+\delta}}$$

例として、半径 R でコンパクト化する ($S^1 \times \dots \times S^1$)

$$g_{MN} = \begin{pmatrix} g_{\mu\nu} & A_\mu \\ A_\mu & \phi \end{pmatrix}$$

graviton
 $(M, N = 0, 1, 2, \dots, 4+\delta)$
 $\mu, \nu = 0, 1, 2, 3$
 $m, n = 1, 2, \dots, \delta$

gauge field
 $(g_{\mu m})$ scalar field
 (ϕ_{mn})

DOF

$$\frac{1}{2}(4+\delta)(5+\delta) = \frac{1}{2} 4 \times 5 + 2 \times \frac{1}{2} 4 \times \delta + \frac{1}{2} \delta(\delta+1)$$

G_{MN} $g_{\mu\nu}$ A_μ
 ϕ

よって、4d graviton は $g_{\mu\nu}(x, y) \ni$
 mode expansion すると得られる。

↳ 平面波で展開できる

平面波 (モメント)

$$g_{\mu\nu}(x, y) = \underbrace{g_{\mu\nu}^{(0)}(x)} + \frac{1}{(2\pi R)^{\delta/2}} \sum_{\vec{n} \neq 0} e^{i \frac{\vec{n} \cdot \vec{y}}{R}} \underbrace{g_{\mu\nu}(\vec{n})} (x, y)$$

余剰空間に束縛ない
4次元 graviton
 $\vec{n}=0 \Rightarrow$ "0モード"

"Kaluza-Klein
モード"

$$\vec{y} = (y_1, \dots, y_\delta)$$

$$\vec{n} = (n_1, \dots, n_\delta)$$

mass spectrum

$$m_{\vec{n} \neq 0}^2 = \frac{1}{R^2} \sum_{i=1}^{\delta} n_i^2 \geq \frac{1}{R^2}$$

この展開を S_{EH} に代入して、4d graviton
の部分を取り出すと、

$$S_{EH} \supset -\frac{1}{2} M_D^{2+\delta} \int d^4 x (2\pi R)^\delta \sqrt{-g^{(0)}} R^{(0)}$$

4d プランク定数 M_p^2 と同定

$$M_D^{2+\delta} (2\pi R)^\delta = M_P^2$$

↑
(4+δ) dim 7次元

↑
4-dim 7次元

R ≒ 適当に大且くと3次元で"押し出す"

$M_D \sim \mathcal{O}(\text{TeV})$ が"可観測"

$$R \sim 10^{\frac{32}{n}} \text{TeV}^{-1} = \begin{cases} \text{excluded} \\ \cancel{10^{15} \text{cm}} & (n=1) \\ 0.1 \text{cm} & (n=2) \\ < 10^{-6} \text{cm} & (n=3) \\ & \vdots \end{cases}$$

Hierarchy problem は以下の如く解決

$$\delta m_H^2 \sim \int d^{4+\delta} k \frac{1}{k^2 - m^2}$$

$$\sim \int_0^{M_D} dk^2 \frac{(k^2)^{(2+\delta)/2}}{k^2 - m^2}$$

finite!

Higgs mass
の loop 補正

TeV cutoff が"はいる"

Large Extra Dimension に 53 hierarchy problem

の解は、大きい余剰空間が自然に実現
されることを示さないと単なる「いかげん」
ではない。

また、余剰空間を “Radion” スカラー場の期待値
とみなす考え方が string theory では自然

$$\rightarrow R = \langle g_{55} \rangle \quad (5D)$$

Radion は ϕ と metric g_{55} の 2,

classical に potential が存在しない

quantum correction (perturbative or non-perturbative)

(53 potential 生成 \rightarrow 最小値を決定)

Radius stabilization の問題 \rightarrow 決まらん

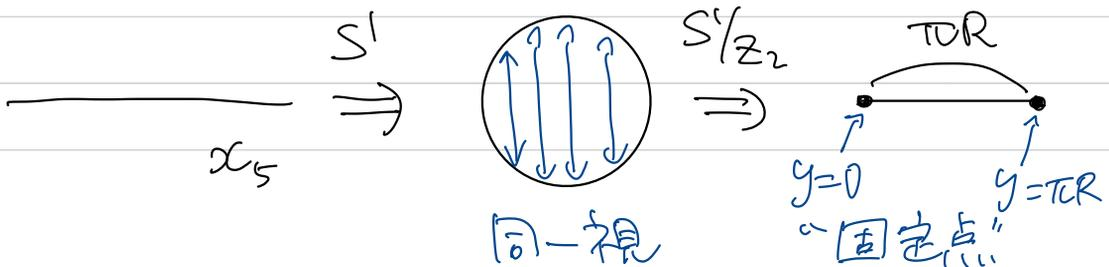
② Warped Extra Dimension (Randall-Sundrum model)

前回のシナリオは、余剰空間が flat
曲がった場合を考えるとどうなるか？

設定

* 5次元理論で、5番目の空間を S^1/Z_2
でコンパクト化

$$\left\{ \begin{array}{l} S^1 : x_5 \sim x_5 + 2\pi R \text{ (周期的 B.C.)} \\ Z_2 : x_5 \sim -x_5 \text{ (余剰空間における} \\ \text{空間反転)} \end{array} \right.$$



* action of RS model

E-H項

$$S_5 = \int d^4x dy \sqrt{-g} \left[-\Lambda + 2M_5^3 R \right]$$

5番目の空間
SD宇宙項
E-H項

$$+ \delta(y) \int d^4x \sqrt{-g_{y=0}} (L - \Lambda_{y=0})$$

4D宇宙項

$$+ \delta(y - \pi R) \int d^4x \sqrt{-g_{y=\pi R}} (L - \Lambda_{y=\pi R})$$

SD曲率スカラー

y=0上のaction

y=πR上のaction

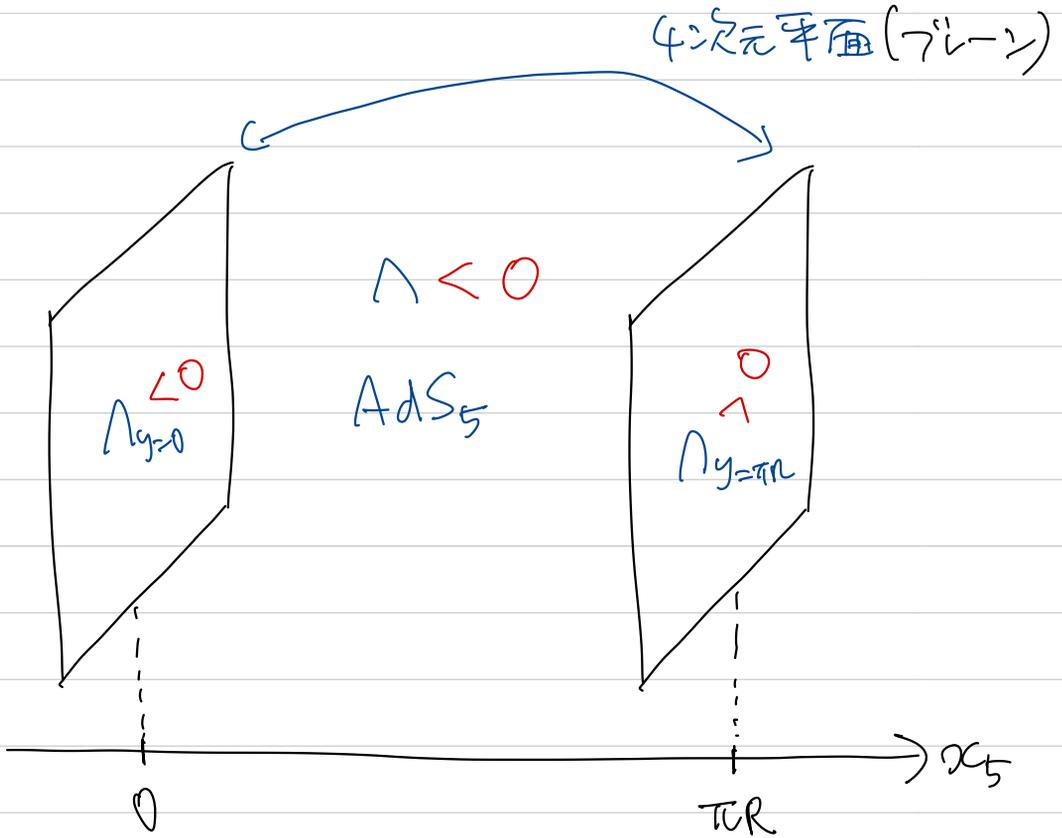
$\Lambda = -\Lambda_{y=0} = \Lambda_{y=\pi R} = -24M_5^3 k^2$ のとき

アインシュタイン方程式の古典解

$$ds^2 = e^{-2ky} \eta_{\mu\nu} dx^\mu dx^\nu + dy^2$$

Σとτ₂。

“warp factor”



* hierarchy problem Λ の応用

Standard model Higgs field が
 $y = \pi R$ ブレーンに 局在している と仮定
 $y = 0$ に 局在している

Higgs $\frac{D}{\Lambda^2}$ action

$$S_{\text{Higgs}} = \int d^4x \sqrt{-g_{y=\pi R}} \times$$

$$g_{y=\pi R}^{\mu\nu} = e^{-2k\pi R} \eta_{\mu\nu} \left[g_{y=\pi R}^{\mu\nu} (D_\mu H)^\dagger (D_\nu H) - \lambda (|H|^2 - v_0^2)^2 \right]$$

$$\Downarrow \int d^4x e^{-4k\pi R} \times$$

$$\left[e^{2k\pi R} \eta^{\mu\nu} (D_\mu H)^\dagger (D_\nu H) - \lambda (|H|^2 - v_0^2)^2 \right]$$

$$H \rightarrow e^{k\pi R} H$$

$$\rightarrow \int d^4x \left[\eta^{\mu\nu} (D_\mu H)^\dagger (D_\nu H) - \lambda (|H|^2 - v_0^2 e^{-2k\pi R})^2 \right]$$

↑
canonical normalization

RS model z' は、

$y = \pi R$ 上の dimensionful $1/\sqrt{4\pi}$ は
warped factor $z' \approx 2\pi R$

$$v_0 e^{-k\pi R} \approx m_H = 125 \text{ GeV} \quad \text{とみなすバツ}$$

v_0 は、とくに理由がない限り 5D プランクスケール
と考えるのが自然。又、RS model では、
5D プランク \approx 4D プランク (後述) なので、

$$e^{-k\pi R} \approx \frac{\mathcal{O}(1 \text{ TeV})}{M_{\text{planch}}} \sim 10^{-16 \sim -15}$$

$$\therefore \underline{\underline{kR \approx \mathcal{O}(10)}}$$

コンパクト化スケール R^{-1} と AdS₅ 曲率スケール
は 1桁程度しか違わない

Einstein-Hilbert action は、

$$S_{\text{EH}} = 2 M_5^3 \int d^4 x dy \underbrace{\sqrt{-g}}_{e^{-4ky} \sqrt{-\eta}} \underbrace{R}_{R_4 e^{2ky}}$$

$$\Rightarrow M_4^2 = 2 M_5^3 \int_0^{\pi R} dy e^{-2ky} \frac{1}{2k} (1 - e^{-2k\pi R})$$

$$M_4^2 = \frac{M_5^3}{k} \left(1 - \underbrace{e^{-2k\pi R}}_{\ll 1} \right) \approx \frac{M_5^3}{k}$$

よって、

$$M_4 \approx k \approx M_5 \leftarrow \text{natural choice}$$

$$\hookrightarrow \frac{1}{R} \approx \mathcal{O}(0.1) k$$

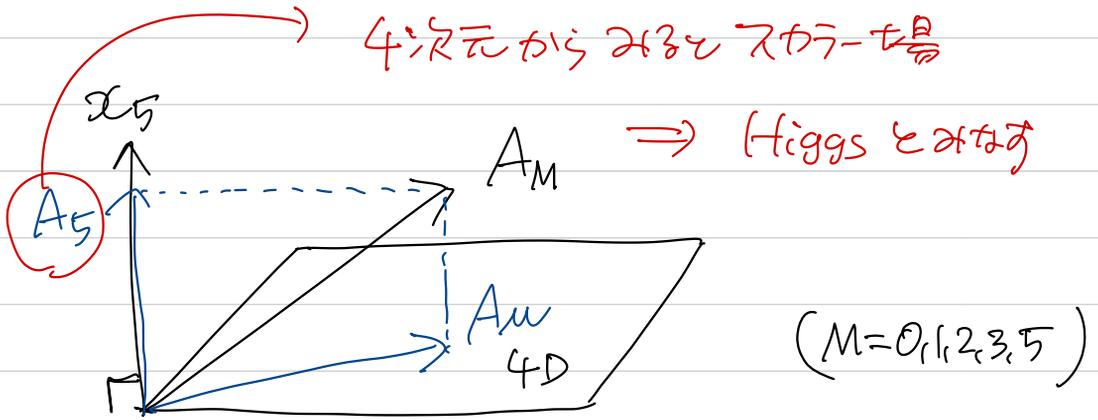
RS model では、コンパクト化スケール
は 4D プランクスケールとほぼ
変わらない (Large Extra D の場合)

ただし、 $kR \sim \mathcal{O}(10)$ を自然に実現する
メカニズムを構成する必要がある。

(ex Goldberger-Wise mechanism)

③ Gauge-Higgs unification

高次元ゲージ理論において、ゲージ場の余剰空間成分を Higgs 場とみなす



Higgs 場は、もともとゲージ場なので、

ゲージ対称性により mass が禁止される
(potential)

loop correction により、mass (potential)
を生成

Coleman-Weinberg
potential

Higgs mass calculation

簡単のため、 $(D+1)$ 次元 QED を考え、 $(D+1)$ 番目の空間を S^1 にコンパクト化した理論で計算

$$\mathcal{L} = -\frac{1}{4} F_{MN} F^{MN} + \bar{\Psi} (i\not{D} - m) \Psi$$

$$\left(\begin{array}{l} F_{MN} = \partial_M A_N - \partial_N A_M \quad (M, N = \underbrace{0, 1, \dots, D-1, D}_u) \\ D_M = \partial_M - ie A_M \\ \not{D} = \Gamma^M D_M \quad \Gamma^M = (\gamma^M, i\gamma^5) \end{array} \right)$$

S^1 の boundary condition

$$\left\{ \begin{array}{l} A_M(x_u, y+2\pi R) = A_M(x_u, y) \\ \Psi(x_u, y+2\pi R) = e^{2\pi i d} \Psi(x_u, y) \end{array} \right.$$

\rightarrow $(D+1)$ th coordinate
~~一般に~~ $U(1)$ の phase $\Xi \pm 2\pi$
(twisted boundary condition)

KK expansion

$$\psi(x_\mu, y) = \frac{1}{\sqrt{2\pi R}} \sum_{n=-\infty}^{\infty} \psi^{(n)}(x_\mu) e^{i \frac{n+d}{R} y}$$

$$\rightarrow \mathcal{L}_\psi = \int d^4x \sum_{n=-\infty}^{\infty} \overline{\psi}^{(n)}(x_\mu) \times \\ \left(i \gamma^\mu \partial_\mu - m - i \frac{n+d}{R} \gamma^5 \right) \psi^{(n)}(x_\mu) \\ + \dots$$

$$\therefore m_{\text{phys}}^2 = m^2 + \left(\frac{n+d}{R} \right)^2$$

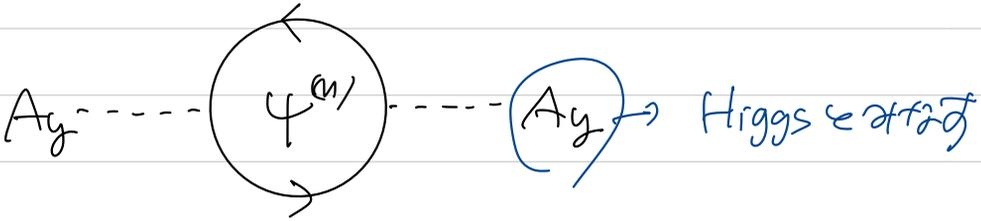
gauge interaction of $A_y^{(0)}$

$$e_{\text{D+1}} \int d^4x \frac{1}{\sqrt{2\pi R}} \sum_{n=-\infty}^{\infty} \overline{\psi}^{(n)}(x_\mu) A_y^{(0)}(x_\mu) i \gamma^5 \psi^{(n)}(x_\mu)$$

$A_y^{(0)}$ normalization

e_D : D:R+QED coupling constant

Ag の (mass)² @ 1-loop Σ 計算



$$m_H^2 = i e_D^2 \int \frac{d^D k}{(2\pi)^D} \sum_{n=-\infty}^{\infty} \text{Tr} \left[\gamma^5 \frac{1}{\not{k} - m_{\text{phys}}} \gamma^5 \frac{1}{\not{k} - m_{\text{phys}}} \right]$$

$$\frac{\text{Tr} \left[\gamma^5 (\not{k} + m_{\text{phys}}^*) \gamma^5 (\not{k} + m_{\text{phys}}^*) \right]}{(k^2 - m_{\text{phys}}^2)^2}$$

$$\begin{aligned} &\text{Tr} \left[(-\not{k} + m_{\text{phys}}^*) (\not{k} + m_{\text{phys}}^*) \right] \\ &= \left(-k^2 + m^2 - \left(\frac{m\tau d}{R} \right)^2 \right) 2^{\lfloor (D+1)/2 \rfloor} \end{aligned}$$

ρ² 修正

$$= i e_D^2 \int \frac{d^D k}{(2\pi)^D} \sum_{n=-\infty}^{\infty} \frac{2^{\lfloor (D+1)/2 \rfloor} \left(-k^2 + m^2 - \left(\frac{m\tau d}{R} \right)^2 \right)}{\left(k^2 - m^2 - \left(\frac{m\tau d}{R} \right)^2 \right)^2}$$

$$\frac{2\rho^2}{\left(\rho^2 + \left(\frac{m\tau d}{R} \right)^2 \right)^2} - \frac{1}{\rho^2 + \left(\frac{m\tau d}{R} \right)^2}$$

$$R \rightarrow \infty \rightarrow \frac{i e_D^2}{D+1} \int \frac{d^{D+1} k}{(2\pi)^{D+1}} \frac{\text{Tr}(\Gamma^M_{(k+m)} \Gamma_M(k+m))}{(k^2 - m^2)^2}$$

$$= \frac{i e_D^2}{D+1} 2^{\frac{(D+1)}{2}} \int \frac{d^{D+1} k}{(2\pi)^{D+1}} \left(m^2 (D+1) + (2 - (D+1)) k^2 \right)$$

$$= \frac{i e_D^2}{D+1} 2^{\frac{(D+1)}{2}} \int \frac{d^{D+1} k}{(2\pi)^{D+1}} \left[(1-D) \frac{1}{k^2 - m^2} + 2m^2 \frac{1}{(k^2 - m^2)^2} \right]$$

次元正規化

$$\Downarrow \frac{2^{\frac{(D+1)}{2}}}{D+1} \frac{e_D^2}{(4\pi)^{\frac{D+1}{2}}} \left\{ (1-D) + 2m^2 \frac{\partial}{\partial m^2} \right\} \Gamma\left(\frac{1-D}{2}\right) (m^2)^{\frac{D-1}{2}}$$

$$= 0$$

$\uparrow R \rightarrow \infty$ z'は, $(D+1)$ -dim gauge invariance
 かつ mass がないから消滅する

finite R z'は

$$m_H^2 = i e_D^2 \int \frac{d^D k}{(2\pi)^D} \sum_{n=-\infty}^{\infty} \frac{\rho^2 \text{迹}}{\left(k^2 - m^2 - \left(\frac{n+D}{R}\right)^2 \right)^2}$$

$$= \frac{2\rho^2}{\left(\rho^2 + \left(\frac{n+D}{R}\right)^2 \right)^2} - \frac{1}{\rho^2 + \left(\frac{n+D}{R}\right)^2}$$

$$= ie_0^2 2^{\lfloor \frac{D+1}{2} \rfloor} \int \frac{d^D k}{(2\pi)^D} \left(1 + p \frac{\partial}{\partial p}\right) \left(\frac{2\pi R}{2p}\right) \times$$

$$\sum_{n=-\infty}^{\infty} \frac{1}{\left(\frac{n\pi d}{R}\right)^2 + p^2} \underbrace{- 2\pi R \int \frac{dk_y}{2\pi} \frac{1}{k_y^2 + p^2}}_{\left[\frac{\sinh(2\pi R p)}{\cosh(2\pi R p) - \cos(2\pi d)} - 1 \right]}$$

$$= \frac{2\pi R}{2p} \left(\frac{\sinh(2\pi R p)}{\cosh(2\pi R p) - \cos(2\pi d)} - 1 \right) \rightarrow R \rightarrow \infty \text{ の } \xi \text{ と } \zeta(3) <$$

$$= \frac{e_0^2 (2\pi R)^2}{2^{D-\lfloor \frac{D+1}{2} \rfloor} \pi^{D/2} \Gamma\left(\frac{D}{2}\right)} \int_0^\infty dk \frac{p^{D-1} \left(1 - \cosh\left(\sqrt{k_\perp^2 + m^2} 2\pi R\right) \cos(2\pi d)\right)}{\left[\cosh\left(\sqrt{k_\perp^2 + m^2} 2\pi R\right) - \cos(2\pi d)\right]^2}$$

有限!!

具体例 $D=5, m=0, d=\frac{1}{2}$

$$M_H^2 = \frac{9e_4^2}{16\pi^4 R^2} \zeta(3) \leftarrow \text{loop factor} \times \frac{1}{R^2}$$

$E > \frac{1}{R}$ 5D gauge sym. unbroken \leftarrow $\left[\frac{1}{R} \text{ の } 2\pi R \text{ の } 2\pi \text{ cutoff} \right]$
 $E < \frac{1}{R}$ 5D \rightarrow 4D gauge sym
 $M_{A_\mu}^2 = 0, M_{A_5}^2$ が 0 になる \rightarrow あり \rightarrow あり

EW symmetry breaking

① Large Extra Dimension (UED)

naive UED model では、Higgs potential
E. 高次元 Lagrangian に書ける (たぶんたぶんたのて、
Standard model 同様、EW は予言不可

② RS model

RS model では、Higgs field は $y = \pi R$ の
に局在している setup での potential は通常の
Standard model Higgs potential と仮定

$$\mathcal{L}_{\text{Higgs}} = \delta(y - \pi R) \int d^4x \sqrt{-g} \times$$

$$\left[D_\mu H^\dagger D^\mu H - \lambda (|H|^2 - v_0^2)^2 \right]$$

本質的に Standard
model と同じ

③ Gauge-Higgs unification (GHU)

以下、簡単のために 5D に限定

Higgs が高次元ゲージ場由来なので、
 EW は非常に non-trivial

④ まあ、 $SU(2)_L$ doublet とこの Higgs を
 A_5 から生成する必要がある。

↳ adjoint 表現なので、 $SU(2)_L \times U(1)_Y$
からスタートできない

simplest group: $SU(3) \supset SU(2)_L \times U(1)_Y$

コンパクト化は、 S^1/Z_2 を採用

Boundary conditions on S^1/\mathbb{Z}_2

$$S^1: A_\mu(x, y+2\pi R) = A_\mu(x, y)$$

$$A_5(x, y+2\pi R) = A_5(x, y)$$

$$\mathbb{Z}_2: \left. \begin{aligned} P A_\mu(x, -y) P^\dagger &= A_\mu(x, y) \\ P A_5(x, -y) P^\dagger &= -A_5(x, y) \end{aligned} \right\} \begin{array}{l} y=0 \\ 1 \rightarrow 112 \end{array}$$

$$\left. \begin{aligned} P A_\mu(x, \pi R - y) P^\dagger &= A_\mu(x, y) \\ P A_5(x, \pi R - y) P^\dagger &= -A_5(x, y) \end{aligned} \right\} \begin{array}{l} y=\pi R \\ 1 \rightarrow 112 \end{array}$$

$$P = \begin{pmatrix} -1 & 0 \\ 0 & -1 \\ & & 1 \end{pmatrix} \leftarrow \text{parity matrix}$$

A_μ の parity は、 $SU(2)_L \times U(1)_Y$ が残るように、
 A_5 の parity は、

$$F_{\mu 5} = \partial_\mu A_5 - \partial_5 A_\mu - i g [A_\mu, A_5]$$

から、parity に自動的に決まる

上記の boundary condition から $A_{\mu,5}$ の成分を具体的に表すと、

$$A_{\mu} = \begin{pmatrix} (+,+) & (+,+) & (-,-) \\ (+,+) & (+,+) & (-,-) \\ (-,-) & (-,-) & (+,+) \end{pmatrix} \quad A_5 = \begin{pmatrix} (-,-) & (-,-) & (+,+) \\ (-,-) & (-,-) & (+,+) \\ (+,+) & (+,+) & (-,-) \end{pmatrix}$$

$$\left(\begin{array}{l} A_M^{(+)}(x, y) \sim \sum_{n=0}^{\infty} A_M^{(+)}(x) \cos\left(\frac{n}{R}y\right) \\ A_M^{(-)}(x, y) \sim \sum_{n=1}^{\infty} A_M^{(-)}(x) \sin\left(\frac{n}{R}y\right) \end{array} \right)$$

Z_2 (or) T_1 even field のみ $n=0$ 区、
 7 7) massless field Z も

$$\left\{ \begin{array}{l} A_{\mu} : SU(3) \rightarrow SU(2) \times U(1) \\ A_5 : SU(2) \text{ doublet } \&D \text{ scalar } \text{or} \\ \text{massless} \end{array} \right.$$

$$n=0 \text{ e79-}$$

$$A_{\mu}^{(0)} = \frac{1}{2} \begin{pmatrix} W_{\mu}^3 + \frac{1}{\sqrt{3}} B_{\mu} & \sqrt{2} W_{\mu}^+ & 0 \\ \sqrt{2} W_{\mu}^- & -W_{\mu}^3 + \frac{1}{\sqrt{3}} B_{\mu} & 0 \\ 0 & 0 & -\frac{2}{\sqrt{3}} B_{\mu} \end{pmatrix}$$

$$A_5^{(0)} = \frac{1}{2} \begin{pmatrix} 0 & 0 & H^+ \\ 0 & 0 & H^0 \\ H^- & H^{0*} & 0 \end{pmatrix}$$

KKZΛ⁰ητL

$$M_{W_n} = \frac{n+a}{R} \quad M_{Z_n} = \frac{n+2a}{R} \quad M_{\delta_n} = \frac{n}{R}$$

$$\left\{ \begin{array}{l} n=0 \end{array} \right.$$

$$\langle A_5^{(0)} \rangle = \frac{a}{g_5 R}$$

$$M_W = \frac{a}{R}, \quad M_Z = \frac{2a}{R}, \quad M_{\delta} = 0$$

$$\Leftrightarrow SU(2)_L \times U(1)_Y \rightarrow U(1)_{em} \text{ by } a \neq 0$$

$$M_Z = 2M_W \Leftrightarrow \sin^2 \theta_W = \frac{3}{4} \gg 0.23 \text{ (exp.)}$$

↳ wrong prediction

EW symmetry breaking

⑧ No Higgs potential @ tree level

$$-\frac{1}{4} F_{MN} F^{MN} \quad (M, N = 0, 1, 2, 3, 5)$$

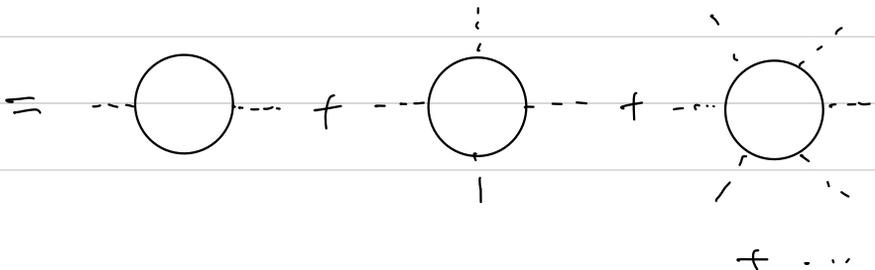
$$(F_{MN} = \partial_M A_N - \partial_N A_M - ig[A_M, A_N])$$

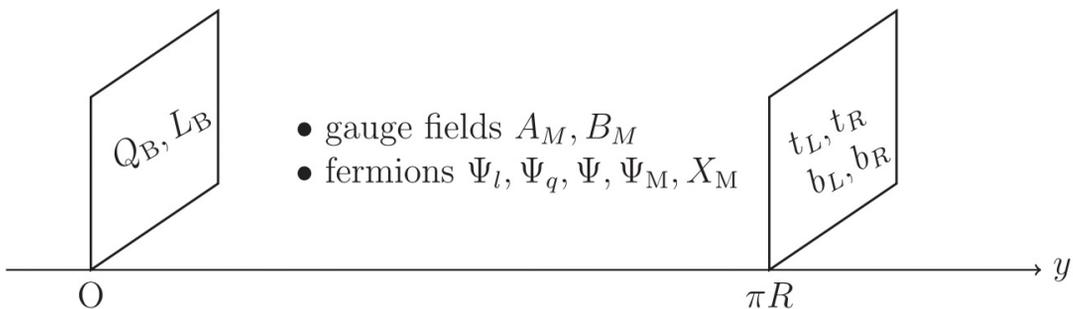
∴ A_5 の potential 項がない

$$(\because [A_5, A_5] = 0)$$

⑨ loop correction から \pm potential 生成
fermion number (Coleman-Weinberg potential)

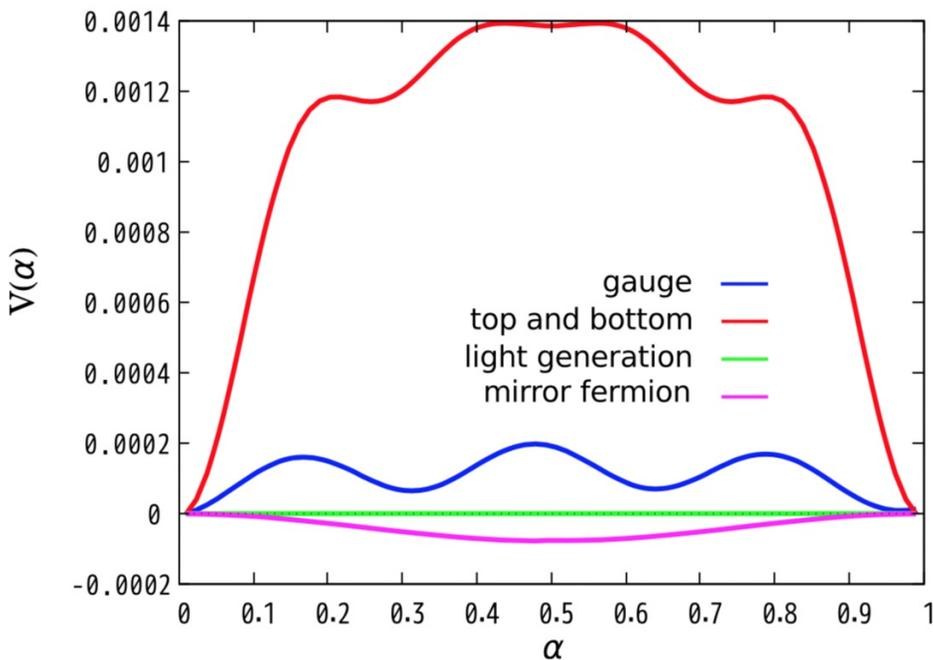
$$V(A_5)_{1\text{-loop}} = (-1)^F \frac{1}{2} \underbrace{(\text{DOF})}_{\substack{\text{loopを回る} \\ \text{fieldの自由度}}} \int \frac{d^4 p}{(2\pi)^4} \frac{1}{2\pi R} \sum_n \log(p^2 + \underbrace{m_h^2(A_5)}_{\substack{\text{KK mass}}})$$



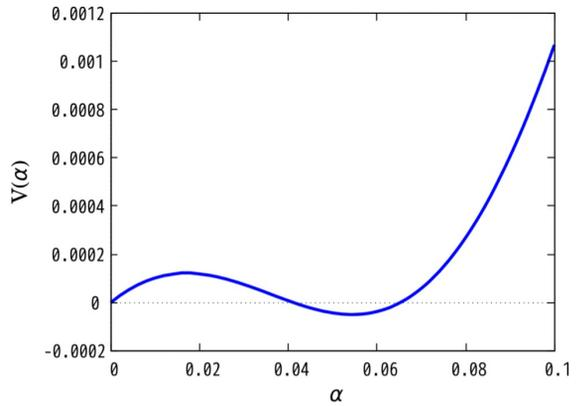
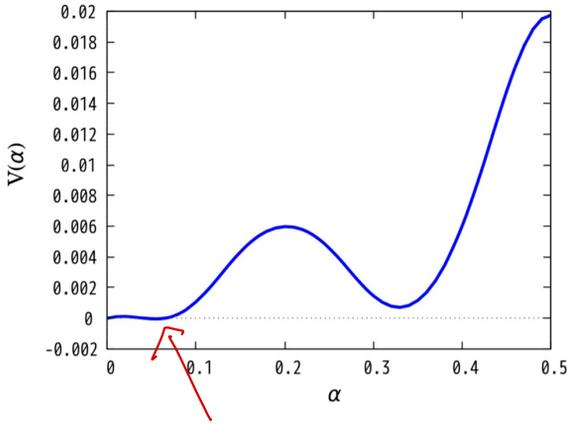


Adachi & NM (2020)

Higgs potential of the above setup



potential が周期的なのは、秩序位 $\times A$ が Wilson-line $\exp(i\oint_{S^1} dy (A_y))$ だから



Minimum

$$\underline{SU(2) \times U(1) \rightarrow U(1)}$$

$$m_H \sim 127 \text{ GeV}, \quad \frac{1}{R} \sim 1.8 \text{ TeV}$$

Wilson-line

$$\langle W \rangle = P \exp \left(i g \oint_{S^1} dy (A_y) \right)$$

$$\begin{pmatrix} 1 & 0 & 0 \\ 0 & \cos(\pi d) & i \sin(\pi d) \\ 0 & i \sin(\pi d) & \cos(\pi d) \end{pmatrix}$$

$$\langle A_y \rangle = \frac{\alpha}{gR} \frac{\lambda^6}{2}$$

Gell-Mann 矩阵

$$\lambda^6 = \begin{pmatrix} 0 & 0 & 0 \\ 0 & 0 & 1 \\ 0 & 1 & 0 \end{pmatrix}$$

$0 < \alpha < 1$ ならば,

$$\left[\langle W \rangle, \sqrt{3} \lambda^3 + \lambda^8 \right] \quad \lambda^3 = \begin{pmatrix} 1 & & \\ & -1 & \\ & & 0 \end{pmatrix}$$

|| ←

$$\lambda^8 = \frac{1}{\sqrt{3}} \begin{pmatrix} 1 & & \\ & 1 & \\ & & -2 \end{pmatrix}$$

$$\left[\begin{pmatrix} 1 & 0 & 0 \\ 0 & \cos 2\alpha & \sin 2\alpha \\ 0 & \sin 2\alpha & \cos 2\alpha \end{pmatrix}, \frac{2}{\sqrt{3}} \begin{pmatrix} 2 & 0 & 0 \\ 0 & -1 & 0 \\ 0 & 0 & -1 \end{pmatrix} \right]$$

||
0

$$\left[\langle W \rangle, \text{others} \right] \neq 0$$

$SU(2) \times U(1) \rightarrow U(1)_{em}$

⑥ G_{HU} ならば, matter content を fix できると,
Higgs potential は 完全に決まる。

→ 高い予言能力

Yukawa coupling

Yukawa Couplingのための準備

S^1 や T^2 などのコンパクト化では、
カイラルフェルミオンが実現できない。

$\Rightarrow S^1/Z_2$ や T^2/Z_n などのように
離散群で割る **オービフォルト**
コンパクト化を考える

S^1/Z_2 を例にとる。
まず S^1 の場合

$$\psi = \begin{pmatrix} \psi_L \\ \psi_R \end{pmatrix}$$

$$S_\psi = \int d^4x dy \bar{\psi} i \Gamma^M \partial_M \psi(x, y)$$

$\psi(x_\mu, y + 2\pi R) = \psi(x_\mu, y)$ とすると。

$$\psi(x, y) = \sum_{n=-\infty}^{\infty} \frac{1}{\sqrt{2\pi R}} \psi^{(n)}(x_\mu) e^{i \frac{n}{R} y}$$

と展開できる。 $\rightarrow S_\psi$ (2代入)

$$S_\psi = \int d^4x \sum_{n=-\infty}^{\infty} \bar{\psi}^{(n)}(x_\mu) \left(i\gamma^\mu \partial_\mu - i\gamma^5 \frac{m}{R} \right) \psi^{(n)}(x_\mu)$$

$$\Gamma^M = (\gamma^\mu, i\gamma^5), \quad D_M = \partial_M - i g A_M$$

$\rightarrow \psi_{L,R}^{(0)}$ is massless *non-chiral*

S'_2 の場合

$$\begin{cases} S'_1: \psi(x_\mu, y+2\pi R) = \psi(x_\mu, y) \\ S'_2: \psi(x_\mu, -y) = \pm \gamma^5 \psi(x_\mu, y) \end{cases}$$

to be $\pm \gamma^5$ is ok.

$$\begin{cases} \psi_R(x_\mu, y) = \frac{1}{\sqrt{2\pi R}} \psi_R^{(0)}(x_\mu) + \frac{1}{\sqrt{\pi R}} \sum_{n=1}^{\infty} \psi_R^{(n)}(x_\mu) \cos\left(\frac{n}{R}y\right) \\ \psi_L(x_\mu, y) = \frac{1}{\sqrt{\pi R}} \sum_{n=1}^{\infty} \psi_L^{(n)}(x_\mu) \sin\left(\frac{n}{R}y\right) \end{cases}$$

Right-handed zero mode is massless
($-\gamma^5$ is left-handed zero mode)

→ UED Σ 想定

* Yukawa coupling (例 up-type quark)

$$\int d^4x dy \Upsilon \bar{U}^i Q^j H_u \quad (i, j = 1, 2, 3)$$

5D Yukawa coupling $\sim \mathcal{O}(1)$

$$= \left(\Upsilon \int dy f_{UR}^{(0)i}(y) f_{QL}^{(0)j}(y) f_{Hu}^{(0)}(y) \right)$$

4D effective Yukawa coupling Y_{ij}

$$\times \int d^4x U_R^{(0)i}(x) Q_L^{(0)j}(x) h_u(x)$$

$$Y_{ij} = \Upsilon \frac{2\sqrt{M_i M_j}}{\sqrt{(1 - e^{-2\pi M_i R})(e^{2\pi M_j R} - 1)}} \int_0^{\pi R} dy e^{-(M_i - M_j)y}$$

Higgs field の zero mode function (2 constant) $\simeq \Sigma, \bar{\Sigma}$

$i \neq j$

$$\simeq \Upsilon \times 2\sqrt{M_i M_j} e^{-M_j \pi R} \frac{1}{M_i - M_j}$$

5D mass (Bulk mass) $\simeq \delta, \bar{\Sigma}$ control

③ exponential suppression t ので、
 $M \sim \theta(1)$ でも t の階層性は easy
parameter の tuning の度合いは少なくなる。

④ top Yukawa $\sim \theta(1)$ ので, zero mode
に top quark を含む 5D fermion は、

massless

⑤ neutrino mass については、bulk mass Σ
が大きければ、非常に小さい neutrino
Yukawa を実現

→ かならずしも Σ - Y -機構にたよる
必要はない

⑥ ブレーン上に局在する SM fermion がある場合
には、 $y=0, \pi R$ に応じた位置での mode
function の値で決まる

$$\left(e^{-M \times 0} @ y=0, e^{-M \pi R} @ y=\pi R \right)$$

* RS model における Yukawa coupling

gauge hierarchy problem の解決から、

Higgs は $y = \pi R$ プレーンに局在した 4D 場

あるいは、 $y = \pi R$ プレーンに 3 重に $\phi = 1$ をもつ 5D 場

が存在することが必要

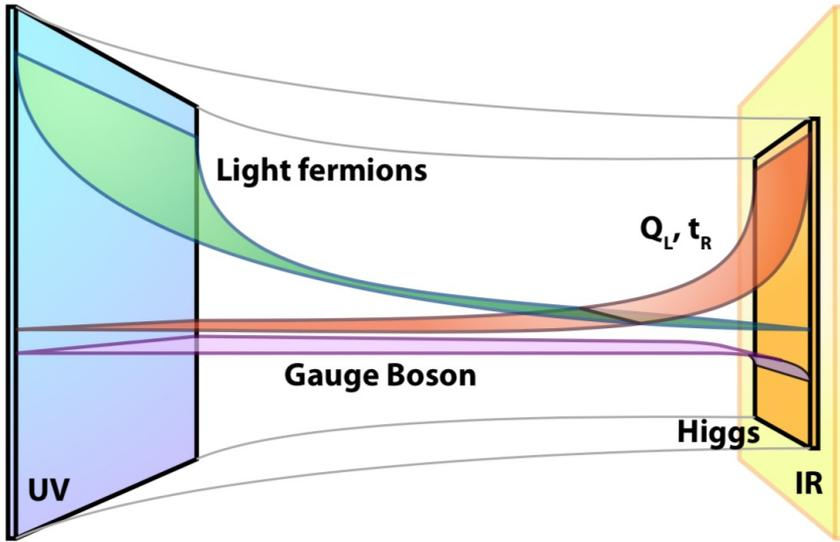
→ top Yukawa $\sim \mathcal{O}(1)$ となるので、
top quark は $y = \pi R$ プレーンに局在

→ bottom Yukawa を再現するために
bottom quark の mode function を決定
↳ $y = \pi R$ プレーンに局在の傾向

→ light fermions は Higgs と弱く couple
 $y = 0$ プレーンに局在

* gauge boson zero mode は flat

Schematic picture of realistic setup
in RS model



* Gauge-Higgs unification (における Yukawa coupling)

quark, lepton の "5D field" の場合、
 Yukawa coupling は gauge coupling である。
 決まる

例として、down-type Yukawa について。

$$g_5 \int d^4x dy \bar{\Psi}_i^{(0)} A_5^{(0)} \Psi_i^{(0)} \quad (i=1,2,3)$$

g_5 → gauge coupling
 $\bar{\Psi}_i^{(0)} A_5^{(0)} \Psi_i^{(0)}$ → Dirac fermion の "5D field"
 y 方向は flat

$$= \left(g_5 \frac{1}{\sqrt{L}} \int dy f_d^{(0)}(y) f_q^{(0)}(y) \right) \int d^4x \bar{d}_R H Q_L$$

4D effective Yukawa coupling Y_d

SU(3) on S^1/Z_2 model における "5D field" の

$$\Psi^{(0)} = \begin{pmatrix} Q_L \\ d_R \end{pmatrix} \quad \text{etc}$$

Q, d_R が 共通 の multiplet に属するので、
 そのモードの bulk mass 依存性も 共通

$$Y_d = \underbrace{g_5}_{g_4} \frac{1}{\sqrt{\pi R}} \int_0^{\pi R} dy \sqrt{\frac{2M}{1-e^{-2\pi MR}}} \sqrt{\frac{2M}{e^{2\pi MR}-1}} e^{-m|y|} e^{+m|y|}$$

$$\approx g_4 2M \pi R e^{-\pi MR} \lesssim g_4$$

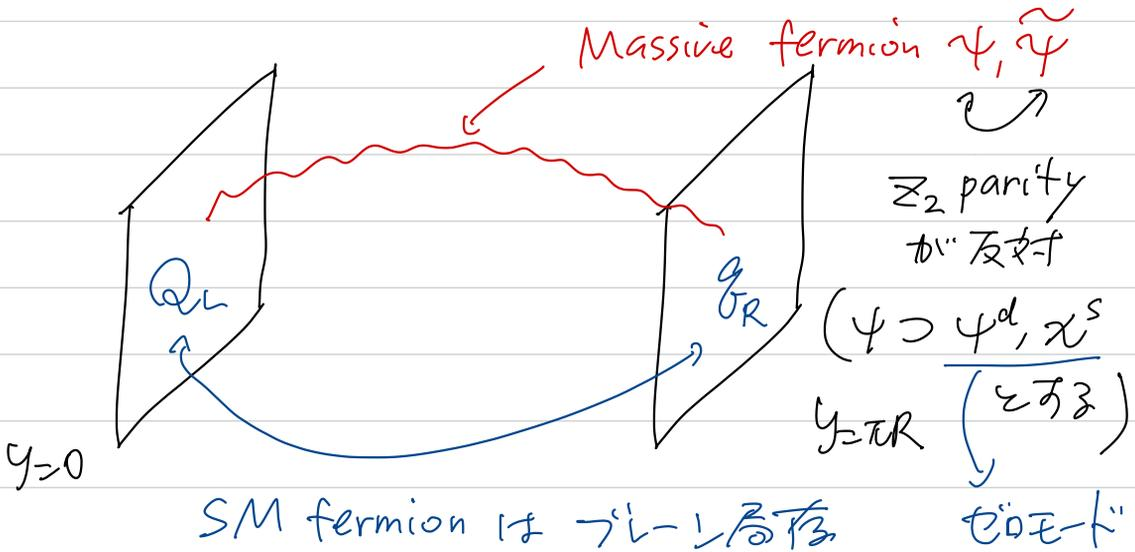
$$\Rightarrow \boxed{m_f \lesssim m_W}$$

① top 以外の yukawa coupling は、 M を tune することで出せる。

top yukawa を実現させる 1 つの方法は、
 top quark を $SU(3)$ の高次元表現 (4th 対称 tensor) にうめこむと、 $\sqrt{4}$ 倍 enhance

② quark, lepton が あつて 高次元バリエーション場由来では、
 flavor mixing が でない ← gauge interaction

→ ブレーン局在場, 相互作用がひつよう



$$\begin{cases} \mathcal{L}_{\text{bulk}} = \bar{\psi} i \not{\partial} \psi + \bar{\tilde{\psi}} i \not{\partial} \tilde{\psi} - M (\bar{\psi} \tilde{\psi} + \bar{\tilde{\psi}} \psi) \\ \mathcal{L}_{\text{brane}} = \delta(y) \left[\bar{Q}_L i \not{\partial} Q_L + \frac{E_L}{\sqrt{\pi R}} \bar{\psi}^d Q_L + \text{h.c.} \right] \\ \quad + \delta(y - \pi R) \left[\bar{q}_R i \not{\partial} q_R + \frac{E_R}{\sqrt{\pi R}} \bar{q}_R \chi^S + \text{h.c.} \right] \end{cases}$$

$\psi, \tilde{\psi}$ を integrating out

$$E_L E_R \pi M R e^{-M \pi R} \frac{1}{q_R} e^{i g \int_0^{\pi R} dy A_y} Q_L$$

non-local

$$\Rightarrow m_f \sim \underbrace{E_L E_R \pi M R}_{\text{mixing}} M_W e^{-\pi M R}$$

ここに mixing の効果が入る

Extra Dimension of Experimental Signature

⑨ KK particle の signature を探す

モテ"iv に よる 2 個の KK particle は,

KK graviton

① Deviation from Newton's law

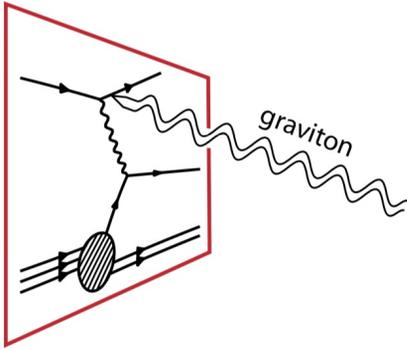
extra dimension の "1/λ" R 以下 小さい距離
では. KK graviton (= 以下 Newton's law からずれる)

$$V(r) = -G_N \frac{m_1 m_2}{r} \left[1 + \alpha e^{-r/\lambda} \right]$$

$$\left(\begin{array}{l} T^2 \text{ 以下 } 10^2 \text{ 以下 } \text{では,} \\ \alpha = \frac{16}{3}, \lambda = R \end{array} \right)$$

$R < 30 \mu\text{m}$ for 2 extra dimensions

② Collider Signals of KK graviton



もっとも シンチレーション Setup
では、SM fields は
ブレーンに局在
graviton は 5D の extra
space Σ propagate

KK graviton production \rightarrow missing energy

(ブレーン上では、energy-momentum
保存が破れる)

PP \rightarrow jet + KK graviton @ LHC
PP \rightarrow γ + KK graviton @ LHC

\Rightarrow $M_b > 7.7 \text{ TeV}$
 $M_{10} > 4.8 \text{ TeV}$ @ 95% CL
($M_{b(10)}$: $b(10)$ 次元 $7.5 \times 10^{25} \text{ eV}$)

⑨ RS model case

RS model の場合は、注意が必要

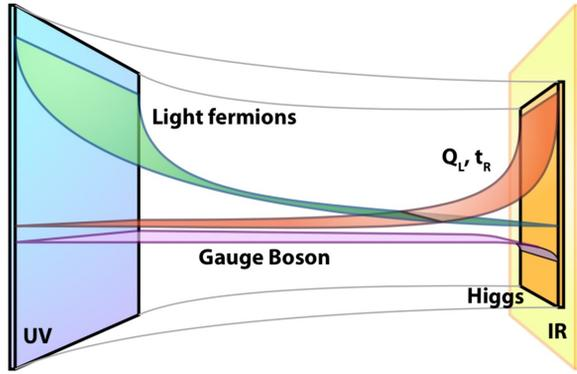
⇒ 1st KK graviton は $y = \pi R$ プレーンに
 $e^{-\eta} \Sigma$ もつ

(original model では、SM 粒子も
 $y = \pi R$ プレーンに局在

⇒ 1st KK graviton \rightarrow SM particles
decay が重要

この Setup では、flavor 物理において
SM とかわらない

Yukawa hierarchy を \neq 自然に実現
するには、SM fields も extra dimension
に propagate (\rightarrow 下図)



KK gauge bosons も $y = \pi R$ 付近に peak をもつ

KK gluon と t_R の相互作用が大きい

(Q_L は bottom とは相互作用
 するたが、 t_R は peak は強
 く大きい)

⑨ Dark matter

KK graviton は, matter との相互作用が非常に弱い ($\sim \frac{1}{M_p}$) ので, Dark matter の候補にはたまたない

Standard model particle も extra dimension に propagate するならば、特徴的な候補が現れる。

Dark matter の安定性を保証する対称性として、KK パリティ が課される

↓
 n 番目の KK 粒子に対して、
 $P_{KK} = (-1)^n$ の Z_2 パリティを課す

出どころ

S^1/Z_2 コンパクト化により extra D 方向の並進不変性が破れる。
→ KK 運動量保存の破れ

LKP (lightest KK particle)

⇒ 一番軽い KK particle が安定なので;
 Dark matter の候補になりうる
 (SUSY の R パリティ と同様のロジック)

⇒ UED などでは, **1st KK photon** が
 典型例

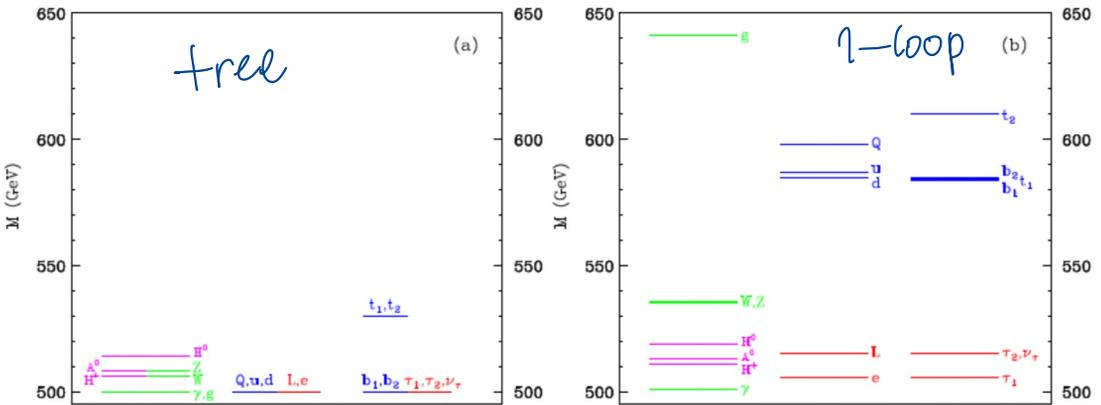


FIG. 6: The spectrum of the first KK level at (a) tree level and (b) one-loop, for $R^{-1} = 500$ GeV, $\Lambda R = 20$, $m_h = 120$ GeV, $\overline{m}_H^2 = 0$, and assuming vanishing boundary terms at the cut-off scale Λ .